

DECENTRALISERAD REGLERING AV STORA
SYSTEM MED SJÄLVINSTÄLLANDE REGULATORER

STEFAN LINDGREN

Institutionen för Reglerteknik
Lunds Tekniska Högskola
Maj 1978

DECENTRALISERAD REGLERING AV STORA SYSTEM MED SJÄLVINSTÄLLANDE
REGULATORER

Examensarbete utfört 1977-78 vid Institutionen
för Reglerteknik vid Lunds Universitet av
Stefan Lindgren
Handledare: Ivar Gustavsson, Björn Wittenmark

SAMMANFATTNING

Vid reglering av stora system finns det ibland skäl att tillgripa decentraliserad reglering. Här behandlas sådan reglering med självinställande regulatorer av en typ som baseras på minstakvadratanpassning och minimalvariansstyrning. Undersökningen, som omfattar såväl teoretiska beräkningar som simuleringar, indikerar att regulatorerna i allmänhet konvergerar så att styrningen blir "optimal" under givna förutsättningar.

ABSTRACT

The problem of controlling a large-scale system is sometimes solved by using decentralized control. Decentralized control using self tuning regulators based on least squares estimation and minimum variance control is considered. Theory and simulations indicate that the regulators generally converge in such a way that the control will be "optimal" under actual conditions.

INNEHÅLLSFÖRTECKNING

	Sida
<u>Inledning</u>	4
1. <u>Decentraliserad reglering och självinställande regulatorer.</u>	5
2. <u>Det behandlade problemet</u>	9
3. <u>Programbeskrivning</u>	13
4. <u>Exempel:</u>	25
Exempel 4.1 - Enkelriktad interaktion	25
Exempel 4.2 - Dubbelriktad interaktion	33
Exempel 4.3 - Koppling genom styrsignalen	45
Exempel 4.4 - Tillämpningsexempel 1	46
Exempel 4.5 - Tillämpningsexempel 2: Rosenbrock's exempel	48
<u>Slutledningar</u>	53
<u>Referenser</u>	54
<u>Appendix</u>	55

INLEDNING

Detta arbete behandlar decentraliserad reglering av "stora" system, dvs. system som naturligen kan betraktas som sammansatta av flera delsystem i samverkan. Teoretiskt sett borde ett sådant system styras centralt för att uppnå optimal reglering. Det kan emellertid finnas flera praktiska skäl att decentralisera styrningen. Central styrning kan t.ex. kräva ett orimligt stort flöde av information, vilket kan bli kostsamt och tidsödande. Det kan vara billigare med många regulatorer som löser små lokala problem än med en enda regulatorer som löser ett komplext globalt problem. Sådana frågor behandlas i [1].

För att slippa problem med identifieringen och eventuell tidsvariabilitet ligger det nära till hands att försöka reglera med självinställande regulatorer, t.ex. av den typ som beskrivs i [2].

Här behandlas uteslutande ett system bestående av två samverkande enkla stokastiska delsystem. Varje delsystem regleras med en självinställande regulator baserad på minstakvadratanpassning och minimalvariansstyrning. För att kunna simulera detta system har jag skrivit program anpassade till simuleringspaket utarbetade vid institutionen.

Undersökningen, vilken omfattar såväl teoretiska beräkningar som simuleringar, indikerar att regulatorerna i allmänhet konvergerar så att styrningen blir "optimal" under givna förutsättningar. Den decentraliserade regleringen medför dock som väntat oftast större förluster än vad som skulle varit fallet vid central styrning.

1. DECENTRALISERAD REGLERING OCH SJÄLVINSTÄLLANDE REGULATORER

Stora system, dvs. system med många mät- och styrsignaler, har ofta en sådan struktur att det faller sig naturligt att betrakta dem som sammansatta av flera delsystem i samverkan. Exempel på sådana system är kraftnäten med sina kraftverk och abonnenter.

Decentraliserad reglering

Utifrån synsättet ovan är steget till decentraliserad reglering inte långt. - Man förser varje delsystem med en egen regulator. I fig. 1.1 visas ett sådant system som dessutom har en central för samordning.

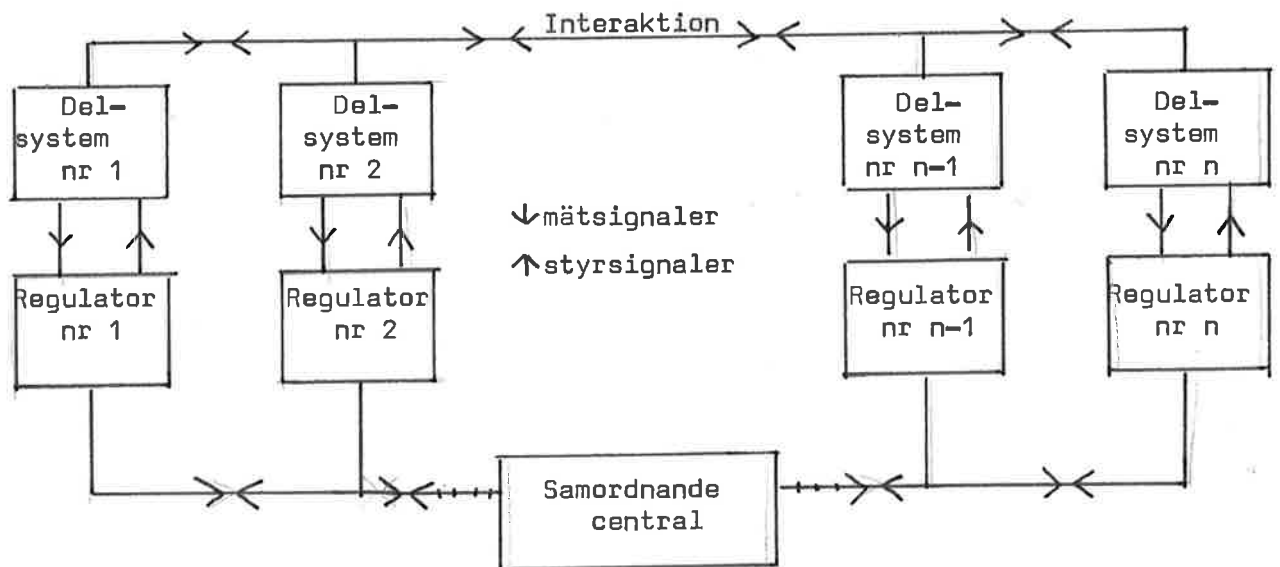


Fig. 1.1 "Stort" system med decentraliserad reglering.

De skäl som kan motivera decentraliserad reglering gäller även för stora system utan uppenbart uppdelad struktur och är följande:

1. Central reglering kan kräva ett orimligt stort flöde av information, vilket kan bli för kostsamt och tidsödande.
2. Det kan vara mindre krävande och därigenom billigare att låta många (decentraliserade) regulatorer lösa enkla lokala reglerproblem än att med en central regulator lösa ett komplicerat problem för hela systemet.

Självinställande regulatorer

Vi skall uteslutande behandla det fall att varje regulator är en så kallad självinställande regulator (Self Tuning Regulator; STURE). Härigenom hoppas vi framför allt att slippa arbete med modellbyggande men även att kunna följa, åtminstone långsamma, förändringar i systemet. Regulatorerna bygger på den typ av självinställande regulatorer, som beskrivs i [2].

Betrakta ett linjärt, tidsinvariant system med en insignal u och en utsignal y , vilket kan beskrivas med följande modell:

$$y(t) + a_1 y(t-1) + \dots + a_n y(t-n) = b_1 u(t-k-1) + \dots + b_n u(t-k-n) + e(t) + c_1 e(t-1) + \dots + c_n e(t-n) \quad (1.1)$$

där $b_1 \neq 0$ och $e(t)$ är ett vitt brus.

Det är välkänt att under vissa förutsättningar finns en strategi som minimerar utsignalens varians.

Om $c_1=c_2= \dots =c_n=0$ får minimal varians-strategin en särskilt enkel form. Systemet kan då skrivas:

$$y(t)+\alpha_1 y(t-k-1)+ \dots +\alpha_n y(t-k-n)= \\ =\beta_0 [u(t-k-1)+\beta_1 u(t-k-2)+ \dots +\beta_1 u(t-k-1-1) +\xi(t) \quad (1.2)$$

där $l=n+k-1$ och $\xi(t)$ är ett glidande medelvärde av $e(t)$. Minimal varians-strategin blir helt enkelt:

$$\hat{u}(t)=\frac{1}{\beta_0} [\alpha_1 y(t)+ \dots +\alpha_n y(t-n-1)] -\beta_1 u(t-1)- \dots -\beta_1 u(t-1) \quad (1.3)$$

I modell (1.2) var parametrarna konstanta och kunde beräknas med hjälp av (1.1). Vi förutsätter nu att parametrarnas värden i (1.1) är okända (ev. med undantag för β_0) och ansätter modellen (1.2) med okända parametervärden. Idén bakom regulatorn är att i varje tidssteg skatta parametrarna i (1.2) och beräkna styrsignalen ur (1.3) med dessa skattade värden på parametrarna. Mer precist kan regulatorns arbetssätt beskrivas så här: Vid varje tidssteg utföres två moment.

1. Parameterskattning.

Med hjälp av en rekursiv algoritm baserad på minsta kvadratmetoden uppdateras skattningen av parametervärden i (1.2) med hänsyn till nya mätvärden

2. Beräkning av styrsignalen

Styrsignalen beräknas ur (1.3) med de parametervärden som beräknats i moment 1.

Parametern β_0 i modellen (1.2) ges vanligen ett konstant värde men kan även ingå bland de skattade parametrarna.

Minsta kvadratanpassning i modellen (1.2) innebär att algoritmen minimerar $\sum_{i=0}^t \varepsilon(i)^2$. Med en liten förändring av algoritmen minimeras i stället $\sum_{i=0}^t \lambda^{t-i} \varepsilon(i)^2$ där $\lambda \leq 1$. Vi ser att $\lambda < 1$ innebär att regulatorn fäster störst vikt vid färsk data och att äldre data "glöms bort" exponentiellt. På detta sätt kan parameterskattningarnas ändringshastighet ökas. Den rekursiva algoritmen kräver att parametrarna α_i och β_i tilldelas startvärden. Dessutom innehåller algoritmen en "kovariansmatris" $P(t)$, som också skall ges ett startvärde $P(0)$. Matrisen $P(t)$ speglar osäkerheten i parameterskattningarna och $P(0)$ bör således ange en uppskattning av osäkerheten hos parametrarnas startvärden.

Självinställande regulatorer behandlas utförligare i [2] - [5].

2. DET BEHANDLADE PROBLEMET

Den fortsatta behandlingen ägnas uteslutande åt system som kan simuleras med de i arbetet ingående programmen. Det synes därför enklast att fastställa beteckningar o. dyl. i samband med beskrivningen av programmens möjligheter.

Strukturen för de system vi skall syssla med ges i fig. 2.1

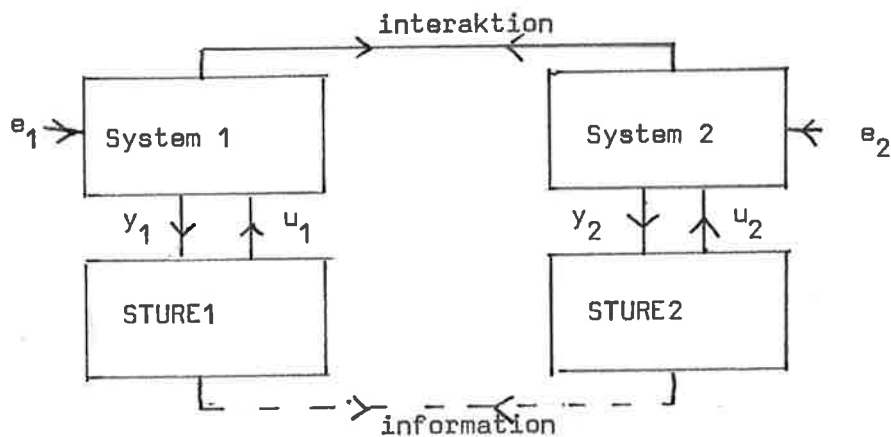


Fig. 2.1 Ett "stort" system med decentraliserad struktur.

Inför följande beteckningar:

$$y(t) = \begin{pmatrix} y_1(t) \\ y_2(t) \end{pmatrix} \quad \text{systemets utsignaler}$$

$$u(t) = \begin{pmatrix} u_1(t) \\ u_2(t) \end{pmatrix} \quad \text{stysignaler}$$

$$e(t) = \begin{pmatrix} e_1(t) \\ e_2(t) \end{pmatrix} \quad \text{störningar}$$

System 1 o. 2 beskrivs med följande modell:

$$\begin{aligned}
 & y(t) + A(1)y(t-1) + \dots + A(n_A)y(t-n_A) = \\
 & = B(1)u(t-k_B-1) + \dots + B(n_B)u(t-k_B-n_B) + \\
 & + e(t) + C(1)e(t-1) + \dots + C(n_C)e(t-n_C) \quad (2.1)
 \end{aligned}$$

där

$$A(k) = \begin{pmatrix} a_{11}(k) & a_{12}(k) \\ a_{21}(k) & a_{22}(k) \end{pmatrix} \quad \text{etc.}$$

Vektorn $e(t)$ är vitt, normalfördelat brus med medelvärde 0 och:

$$\begin{aligned}
 \text{var}(e_1(t)) &= r_{11} \\
 \text{var}(e_2(t)) &= r_{22} \\
 \text{kov}(e_1(t), e_2(t)) &= r_{12}
 \end{aligned}$$

STURE1 och STURE2 är konstruerade med den självinställande regulatorn i kapitel 1 som ledstjärna. De är dock något mer komplicerade för att kunna utnyttja den information de eventuellt tillåts utbyta (jfr. fig. 2.1).

Om parametrarna β'_0 och β''_0 inte skattas gäller att följande modell ansättes för STURE1:

$$\begin{aligned}
 & y_1(t) + \alpha'_1 y_1(t-k'_1-k_{del}-1) + \dots + \alpha'_{n'_1} y_1(t-k'_1-k_{del}-n'_1) \\
 & \quad + \alpha'_2 y_2(t-k'_2-k_{del}-1) + \dots + \alpha'_{n'_2} y_2(t-k'_2-k_{del}-n'_2) \\
 & = \beta'_0 \{ u_1(t-k'_2-1) + \beta'_1 u_1(t-k'_2-2) + \dots + \beta'_{n'_2} u_1(t-k'_2-n'_2-1) \\
 & \quad + \beta'_1 u_2(t-k'_4-k_{del}-1) + \dots + \beta'_{n'_4} u_2(t-k'_4-k_{del}-n'_4) \} + \xi_1(t) \quad (2.2)
 \end{aligned}$$

För STURE2 gäller:

$$\begin{aligned}
 & y_2(t) + \alpha_1'' y_2(t-k_2''-k_{del}-1) + \dots + \alpha_{n_1}'' y_2(t-k_1''-k_{del}-n_1'') \\
 & \quad + \gamma_1'' y_1(t-k_3''-k_{del}-1) + \dots + \gamma_{n_3}'' y_1(t-k_3''-k_{del}-n_3'') \\
 & = \beta_0'' \{ u_2(t-k_2''-1) + \beta_1'' u_2(t-k_2''-2) + \dots + \beta_{n_2''-1} u_2(t-k_2''-n_2''-1) \\
 & \quad + \delta_1'' u_1(t-k_4''-k_{del}-1) + \dots + \delta_{n_4}'' u_1(t-k_4''-k_{del}-n_4'') \} + \varepsilon_2(t)
 \end{aligned} \tag{2.3}$$

Om t.ex. β_0'' skall ingå bland de skattade parametrarna ändras modellen i STURE2 till:

$$\begin{aligned}
 v.l. = & \beta_0'' u_2(t-k_2''-1) + \dots + \beta_{n_2''-1} u_2(t-k_2''-n_2'') \\
 & + \delta_1'' u_1(t-k_4''-k_{del}-1) + \dots + \delta_{n_4}'' u_1(t-k_4''-k_{del}-n_4'') + \varepsilon_2(t)
 \end{aligned} \tag{2.4}$$

I varje tidssteg utför STUREi de två momenten: 1. Skattning av parametrarna $\alpha, \beta, \gamma, \delta$ i (2.2) o. (2.3) 2. Beräkning av motsvarande styrsignal $\hat{u}_i(t)$.

För att förklara förekomsten av k_{del} i modell (2.2) antar vi att $k_2' = 0$. Styrlagen i STURE1 blir:

$$\begin{aligned}
 \hat{u}_1(t) = & \frac{1}{\beta_0'} \{ \alpha_1' y_1(t-k_1'-k_{del}) + \dots + \alpha_3' y_2(t-k_3'-k_{del}) + \dots \} - \\
 & - \beta_1' u_1(t-1) - \dots - \delta_1' u_2(t-k_4'-k_{del}) - \dots
 \end{aligned}$$

och vi ser att k_{del} kan tolkas som en generell fördröjning av information. (Jämför k_2' som är en uppskattning av tidsfördröjningen i systemet.) Observera att man måste tänka sig för när man ansätter modellen (2.2) så att styrlagen blir realiserbar och inte t.ex. $\hat{u}_1(t) = \alpha_1' y_1(t+1)$ eller $\hat{u}_1(t) = \alpha_1' y_1(t-1) + \delta_1' u_2(t)$. (Vi förutsätter alltså att $u_1(t)$ och $u_2(t)$ beräknas "samtidigt!")

Parametrarnas α_1, \dots tilldelas startvärden α_{10} etc. och kovariansmatriserna $P_1(t)$ och $P_2(t)$ ges startvärden, vilka är diagonalmatriser. Vanligen sättes alla diagonalelement lika så att $P_1(0) = P_2(0) = p_0 \cdot I$, där p_0 är ett positivt tal och I är enhetsmatrisen. Vi drar oss till minnes att p_0 bör spegla osäkerheten hos parametrarnas startvärden. Detta kan förklaras med att om p_0 är stort tillåts stora förändringar av parameterskattningarna i början och vice versa.

Regulatorernas minsta kvadrat algoritmer innehåller en gemensam viktfaktor λ så att $\lambda < 1$ innebär att anpassningen av parametrarna sker med "exponentiell glömska". Det finns även möjlighet att variera λ på ett sådant sätt att λ konvergerar från ett startvärde < 1 mot 1 när $t \rightarrow \infty$.

Det är ibland fördelaktigt att begränsa styrsignalerna. I programmen kan detta göras så att $|\hat{u}_i| \leq u_{lim}$, där u_{lim} kan väljas godtyckligt.

3. PROGRAMBESKRIVNING

Simuleringarna har gjorts på en PDP 15 med hjälp av ett interaktivt program - SIMNON, se [6]. Interaktionen försiggår via skrivmaskinsterminal, bildskärm och radskrivare.

De subrutiner som tillsammans beskriver hela systemet heter DIST, SYSS, REGS ("discrete systems") och CONN ("connecting system"). DIST, SYSS och REGS är skrivna i FORTRAN och har länkats samman med SIMNON. CONN är skrivet i SIMNONS speciala simuleringspråk. I ett appendix återges dessa och andra subrutiner som skrivits för att kunna generera SIMNON-element i sin helhet. Dessutom ges en länklista för en sådan generering.

Låt oss nu titta lite närmare på programmen.

DIST

Subrutinen DIST genererar bruset som driver våra system.

För att beräkna brussignalerna (e_1 och e_2) använder DIST två sviter av oberoende, $N(0,1)$ variabler. Med parametrarna NOD1 och NOD2 kan man välja olika sådana sviter, ty dessa parametrar, som skall vara udda heltal, utgör startvärden till en slumpvalsgenerator.

I tabell 3,1 sammanfattas utsignaler och parametrar. Med standardvärde avses det värde en parameter tilldelas då SIMNON-kommandot SYST ges.

DIST	Standardvärde	Kommentar
<u>utsignaler</u>		
ED1	-	= e_1
ED2	-	= e_2
<u>parametrar</u>		
R011	1	= $r_{11} = \text{var}(e_1)$
R022	1	= $r_{22} = \text{var}(e_2)$
R012	0	= $r_{12} = \text{cov}(e_1, e_2)$
N0D1	19	
N0D2	27	

Tabell 3.1 DIST-utsignaler och parametrar

SYSS

Denna subrutin beräknar utsignalerna från ett linjärt stokastiskt system, med två utsignaler och fyra insignaler, som kan beskrivas med modell (2.1).

Matriserna A, B, C har formen (med självklara beteckningar)

$$A(k) = \begin{pmatrix} A11(k) & A12(k) \\ A21(k) & A22(k) \end{pmatrix} \quad \text{etc.}$$

och deras element lagras i parametervektorerna A11, A12, ...
 ..., B11,, C22. Dessa vektorer är deklarerade med dimensionen 5, men deras aktuella dimension, IACTV, fastställs med kommandot LET IACTV. = j, där $1 \leq j \leq 5$, givet för SYST.
 Vi måste uppenbarligen kräva:

$$\left. \begin{matrix} NA \\ NB \\ NC \end{matrix} \right\} \leq \text{IACTV}$$

Dessutom krävs $NB + KB \leq 10$

En sammanfattning återfinnes i tabell 3.2

SYSS	Standardvärde	Kommentar
<u>utsignaler</u>		
YS1, YS2	-	$=y_1, y_2$
<u>insignaler</u>		
US1, US2	-	styrsignaler, $= u_1, u_2$
ES1, ES2	-	brus, $= e_1, e_2$
<u>parametrar</u>		
NA, NB, NC	0	$\leq IACTV$
KB	0	$NB+KB \leq 10$
<u>parametervektorer</u>		
A11.....A22	0	} aktuell dimension: IACTV
B11.....B22	0	
C11.....C22	0	

Tabell 3.2 SYSS-utsignaler och parametrar

REGS

REGS innehåller STURE1 och STURE2 som de beskrivits i kapitel 2.

Vi ser i modellerna (2.2) - (2.4) att n_1' anger antalet α' -parametrar, n_2' antalet β' -parametrar och så vidare.

Dessa antal lagras i vektorerna N1 och N2.

$$N1 = (n'_1, n'_2, n'_3, n'_4)$$

$$N2 = (n''_1, n''_2, n''_3, n''_4)$$

Vi har tidigare kallat kdel för generell informationsfördröjning. Låt oss kalla k'_1, k'_2, \dots för lokala signalfördröjningar. De lagras i vektorerna K1 och K2.

$$K1 = (k'_1, k'_2, k'_3, k'_4)$$

$$K2 = (k''_1, k''_2, k''_3, k''_4)$$

Parametrarna $\alpha'_1, \alpha'_2, \dots$ lagras i vektorerna TH1 och TH2.

$$TH1 = (\alpha'_1, \dots, \alpha'_{n'_1}, \beta'_1, \dots, \beta'_{n'_2}, \gamma'_1, \dots, \gamma'_{n'_3}, \delta'_1, \dots, \delta'_{n'_4})$$

$$TH2 = (\alpha''_1, \dots, \alpha''_{n''_1}, \beta''_1, \dots, \beta''_{n''_2}, \gamma''_1, \dots, \gamma''_{n''_3}, \delta''_1, \dots, \delta''_{n''_4})$$

Dessa vektorers aktuella dimension bestäms med kommandona (före SYST):

```
LET IACT1. = j
```

```
LET IACT2. = k
```

där $1 \leq j, k \leq 5$ (i mån av plats kan man höja den övre gränsen genom att ändra fältvidder och IP i SYST och SYSTSC).

TH1 och TH2 tilldelas startvärden med vektorerna TH01 och TH02.

Kovariansmatriserna i minsta kvadrat algoritmen heter P1 och P2. Som nämnts tilldelas endast diagonalelementen i dessa matriser startvärden $\neq 0$, vilket sker med vektorerna P01 och P02.

Startvärde för t.ex. P1 blir alltså matrisen

$$\begin{pmatrix} P01_1 & 0 & \dots & 0 \\ 0 & P01_2 & & \\ \vdots & \vdots & \ddots & \vdots \\ 0 & & & P01_j \end{pmatrix}$$

där j är totala antalet parametrar som skattas i STURE1.

Vikt faktorn, λ , i minsta kvadrat algoritmen återfinns under namnet WT . Den ges startvärdet WTI och uppdateras i varje tidssteg enligt formeln:

$$WT = WTM \cdot WT + (1 - WTM),$$

vilket innebär följande:

1. $WTM = 1$: $WT = \text{konstant} = WTI$
2. $WTM < 1$: WT konvergerar från WTI mot 1 med tiden.

Även för att beskriva parametern $ULIM$'s funktion skiljer vi på två fall:

1. $ULIM \geq 0$: styrsignalerna begränsas så att $|\hat{u}_i| \leq ULIM$
2. $ULIM < 0$: Ingen begränsning.

Förluster summeras i variablerna $V1$, $V2$ och V .

$$V1 = \sum_{i=1}^t y_1(i)^2$$

$$V2 = \sum_{i=1}^t y_2(i)^2$$

$$V = V1 + V2$$

Huruvida β'_0 och β''_0 skall skattas avgörs med parametern IBO.

1. IBO = 0 : β'_0 =konstant=B01, β''_0 =konstant=B02
2. IBO = 1 : β'_0 och β''_0 skattas.

I matriserna S1 och S2 lagras gamla värden på y_1, y_2, u_1, u_2 .
De har aktuell dimension (4,j) efter kommandot:

LET ISB. = j, $2 \leq j \leq 10$

Tabell 3,3 visar de viktigaste komponenterna i REGS. Observera att indices ges utan parentes i SIMNON! Man skriver således ej B21(3), TH01(1) och P1(2,3) utan B213, TH011 och P123.

REGS	Standardvärde	Aktuell dimension	Kommentar
<u>utsignaler</u>			
UR1, UR2	-	-	beräknade styrsignaler; \hat{u}_1, \hat{u}_2
<u>utsignalvektorer</u>			
TH1	-	IACT1	} innehåller parameterskattningar
TH2	-	IACT2	
<u>insignaler</u>			
Y1, Y2	-	-	verkliga utsignaler; y_1, y_2
U1, U2	-	-	verkliga styrsignaler; u_1, u_2
<u>parametrar</u>			
KDEL	0	-	generell informationsfördröjning
IBO	0	-	=0: β_0 skattas ej; =1 β_0 skattas
B01, B02	1	-	konstantvärden på β_0
WTI	1	-	initialvärden på λ
WTM	1	-	modulering av λ (om WTM ≤ 1)
ULIM	-1	-	begränsar \hat{u}_1, \hat{u}_2
<u>parametervektorer</u>			
N1, N2	0	4	antal parametrar
K1, K2	0	4	lokala signalfördröjningar
TH01	0	IACT1	} initialvärden
TH02	0	IACT2	
P01	(100,100,.....)	IACT1	} initialdiagonaler till P1, P2
P02	(100,100,.....)	IACT2	
<u>variabler</u>			
V1, V2, V	-	-	förluster
<u>variabelmatriser</u>			
P1	-	IACT1	} kovariansmatriser
P2	-	IACT2	
S1, S2	-	(4, ISB)	lagrar y_1, y_2, u_1, u_2
<u>parametermatris</u>			
S0	0	(4, ISB)	initialvärden till S1, (S2)

Tabell 3,3 REGS - viktiga komponenter

CONN

Vi har nu tre program, som beskriver var sin isolerad bit av vårt stora system. För att kunna simulera hela systemet måste vi också deklarerera samband mellan de tre programmens in- och ut signaler. Detta görs i CONN.

I fig. 3.1 återges CONN i sin helhet.

```
CONNECTING SYSTEM CONN
"
TIME T
"
ES1(SYSS)=ED1(DIST)
ES2(SYSS)=ED2(DIST)
Y1(REGS)=YS1(SYSS)
Y2(REGS)=YS2(SYSS)
U1(REGS)=UR1(REGS)
U2(REGS)=UR2(REGS)
US1(SYSS)=UR1(REGS)
US2(SYSS)=UR2(REGS)
"
END
```

Fig. 3.1 CONN

Exempel

Som demonstration av användningen av programmen avslutas detta kapitel med ett exempel.

Antag att ett system beskrivs av:

$$y(t) + \begin{pmatrix} -0.9 & 0.5 \\ 0 & -0.8 \end{pmatrix} y(t-1) + \begin{pmatrix} 0 & 0.1 \\ 0 & 0 \end{pmatrix} y(t-2) = \begin{pmatrix} 1 & 0 \\ 0.2 & 1 \end{pmatrix} u(t-1) + e(t) + \begin{pmatrix} -0.5 & 0 \\ 0 & 0 \end{pmatrix} e(t-1)$$

med $r_{11} = \text{var}(e_1) = 1$, $r_{22} = \text{var}(e_2) = 0.8$, $r_{12} = \text{cov}(e_1, e_2) = 0$

Låt regulatoren ha följande struktur:

$$\begin{cases} y_1(t) + \alpha'_1 y_1(t-1) + \alpha'_2 y_1(t-2) + \gamma'_2 y_2(t-2) = u_1(t-1) + \beta' u_1(t-2) + \varepsilon_1(t) \\ y_2(t) + \alpha'' y_2(t-1) + \gamma'' y_1(t-1) = 1.5 u_2(t-1) + \varepsilon_2(t) \end{cases}$$

I fig. 3.2 visas en dialog som hölls med datorn för att simulera detta system. På skivan RK fanns filerna SIMNON XCT, SIMNON XXX och CONN SRC. Bildskärmens utseende efter simuleringen visas i fig. 3.3 och utskriften från radskrivaren, föranledd av kommandot DISP(LP) i fig. 3.4. Observera att

$$TH1 = (\alpha'_1, \alpha'_2, \beta', \gamma'_2)$$

$$TH2 = (\alpha'', \gamma'', -, -)$$

\$A RK <SIM> 4

\$A RK 3/NON 5,7,15,16

\$BUFFS 5

\$E SIMNON

```

>
>
>LET IACTV.=2
>,IACT1.=4
>,IACT2.=4
>,ISB.=3
>SYST DIST SYSS REGS CONN
    WARNING: U S1,U S2 ARE UNDEFINED IN OUTPUT-SECTION OF SYSS
    WARNING: U 1,U 2 ARE UNDEFINED IN OUTPUT-SECTION OF REGS
>
>PAR NA:2
>,NB:1
>,NC:1
>,A111: -.9
>,A121: .5
>,A122: .1
>,A221: -.8
>,B111: 1
>,B211: .2
>,B221: 1
>,C111: -.5
>
>PAR RC 22: .8
>
>PAR N 11:2
>,N12:1
>,N13:1
>,K13:1
>,N21:1
>,N23:1
>,B02:1.5
>
>PLOT V1 V2
>AXES H 0 2000 V. 0 4000
>SIMU 0 2000 -MARK
>
>DISP(LF)
>STOP
STOP 000000

```

DOS-15 UV 3 A002

\$

PLOT V1 V2

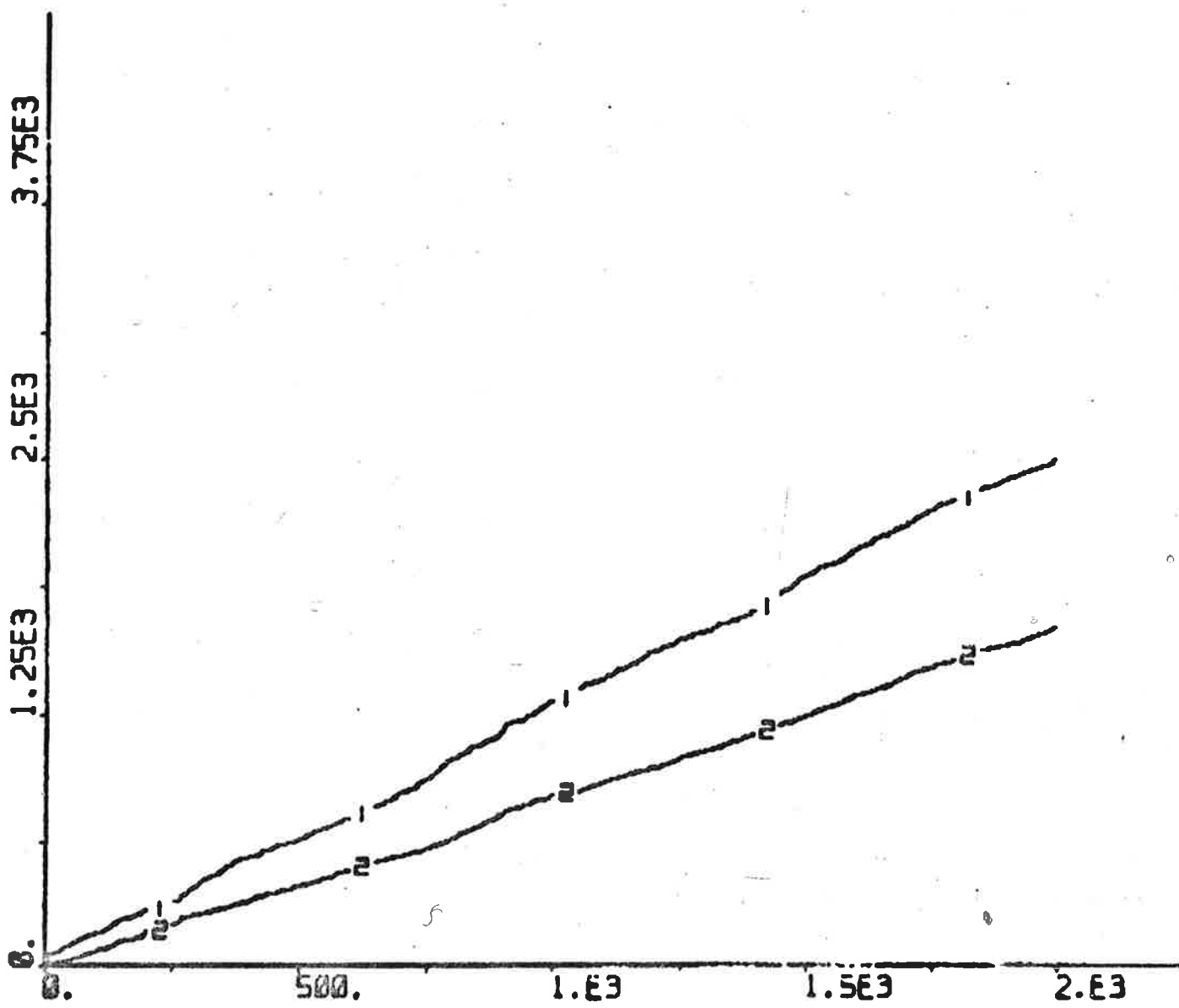


Fig. 3.3 Kopia av bildskärmen

DISCRETE SYSTEM DIST

OUTPUT: ED1	1.31230	ED2	8.935264E-02		23
TSAMP : TS	2001.00				
PAR : R011	1.00000	R012	0.000000	R022	0.800000
	N0D1	N0D2	27.0000	DT	1.00000

DISCRETE SYSTEM SYSS

INPUT : US1	-0.469667	US2	0.156197	ES1	1.31230	
	ES2	8.935264E-02				
OUTPUT: YS1	1.30337	YS2	5.107574E-03			
TSAMP : TS	2001.00					
PAR : NA	2.00000	NB	1.00000	NC	1.00000	
	KB	0.000000	A111	-0.900000	A112	0.000000
	A121	0.500000	A122	0.100000	A211	0.000000
	A212	0.000000	A221	-0.800000	A222	0.000000
	B111	1.00000	B112	0.000000	B121	0.000000
	B122	0.000000	B211	0.200000	B212	0.000000
	B221	1.00000	B222	0.000000	C111	-0.500000
	C112	0.000000	C121	0.000000	C122	0.000000
	C211	0.000000	C212	0.000000	C221	0.000000
	C222	0.000000	DT	1.00000		

DISCRETE SYSTEM REGS

INPUT : U1	-0.469667	U2	0.156197	Y1	1.30337	
	Y2	5.107574E-03				
OUTPUT: UR1	-0.469667	UR2	0.156197	TH11	-0.389117	
	TH12	-7.698941E-02	TH13	0.110130	TH14	0.361886
	TH21	-1.15986	TH22	0.184306	TH23	0.000000
	TH24	0.000000	RES1	1.30337	RES2	3.405049E-03
TSAMP : TS	2001.00					
PAR : N11	2.00000	N12	1.00000	N13	1.00000	
	N14	0.000000	N21	1.00000	N22	0.000000
	N23	1.00000	N24	0.000000	K11	0.000000
	K12	0.000000	K13	1.00000	K14	0.000000
	K21	0.000000	K22	0.000000	K23	0.000000
	K24	0.000000	KDEL	0.000000	R01	1.00000
	B02	1.50000	IB0	0.000000	TH011	0.000000
	TH012	0.000000	TH013	0.000000	TH014	0.000000
	TH021	0.000000	TH022	0.000000	TH023	0.000000
	TH024	0.000000	P011	100.000	P012	100.000
	P013	100.000	P014	100.000	P021	100.000
	P022	100.000	P023	100.000	P024	100.000
	S011	0.000000	S012	0.000000	S013	0.000000
	S021	0.000000	S022	0.000000	S023	0.000000
	S031	0.000000	S032	0.000000	S033	0.000000
	S041	0.000000	S042	0.000000	S043	0.000000
	R11	0.000000	R12	0.000000	R13	0.000000
	R14	0.000000	R21	0.000000	R22	0.000000
	R23	0.000000	R24	0.000000	ULIM	-1.00000
	WT1	1.00000	WTM	1.00000	DELT	0.000000
	REG	1.00000	DT	1.00000		
VAR : V1	2503.82	V2	1670.92	V	4174.73	
	P111	4.847368E-04	P112	-6.613618E-05	P113	1.078367E-04
	P114	2.435514E-04	P121	-6.613618E-05	P122	1.465410E-03
	P123	-2.142503E-03	P124	-1.289082E-05	P131	1.078367E-04
	P132	-2.142503E-03	P133	4.312716E-03	P134	-2.570524E-06
	P141	2.435514E-04	P142	-1.289082E-05	P143	-2.570524E-06
	P144	7.217468E-04	P211	1.346896E-03	P212	-1.765882E-05
	P213	0.000000	P214	0.000000	P221	-1.765882E-05

P222	8.994618E-04	P223	0.000000	P224	0.000000
P231	0.000000	P232	0.000000	P233	0.000000
P234	0.000000	P241	0.000000	P242	0.000000
P243	0.000000	P244	0.000000	S111	-1.30337
S112	2.43819	S113	1.46468	S121	-0.469667
S122	1.08789	S123	1.24374	S131	-5.107574E-03
S132	8.402981E-02	S133	-0.434441	S141	0.156197
S142	-0.234600	S143	-0.515942	S211	-3.405049E-03
S212	5.601987E-02	S213	-0.289627	S221	0.156197
S222	-0.234600	S223	-0.515942	S231	-0.868913
S232	1.62546	S233	0.976450	S241	-0.313112
S242	0.725262	S243	0.829162		

CONNECTING SYSTEM CONN
TIME : T 2000.00

Fig. 3,4 (forts.)

4. SIMULERINGAR OCH BERÄKNINGAR

I detta kapitel skall vi studera några exempel. Vårt intresse inriktas därvid främst mot parametrarnas konvergenssegenskaper och förlusternas storlek. Som förlustfunktioner används:

$$V_1 = E y_1^2, \quad V_2 = E y_2^2 \quad \text{och} \quad V = V_1 + V_2.$$

Om annat ej anges har simuleringarna omfattat 2100 steg och förlusterna beräknats för de sista 1000 stegen, dvs.

$$V_1 = \frac{1}{1000} \sum_{t=1101}^{2100} y_1(t)^2 \quad \text{etc.}$$

Parameterskattningarna har i allmänhet konvergerat efter 1000 steg och viktfaktorn λ har därefter knappast någon betydelse för resultatet. Om inget annat anges är $\lambda=1$.

Vad som nu följer är fem exempel. Exempel på enkelriktad interaktion, på dubbelriktad interaktion och på interaktion via styrsignalen samt slutligen två speciella, "svåra" exempel.

Exempel 4.1 - Enkelriktad interaktion

Betrakta ett system med modellen

$$y(t) + \begin{pmatrix} a_{11} & a_{12} \\ 0 & a_{22} \end{pmatrix} y(t-1) = u(t-1) + e(t) + \begin{pmatrix} c_{11} & 0 \\ 0 & c_{22} \end{pmatrix} e(t-1) \quad (4.1)$$

och låt dem styras av två regulatorer med följande strukturer.

$$\begin{cases} y_1(t) + d_1 y_1(t-1) = u_1(t-1) + \xi_1(t) & (\text{STURE1}) \\ y_2(t) + d_2 y_2(t-1) = u_2(t-1) + \xi_2(t) & (\text{STURE2}) \end{cases}$$

Vi noterar att (del-)system 2 (undre raden i 4.1) i själva verket är oberoende av (del-)system 1 och under vissa förutsättningar finns en minimalvariansstrategi sådan att y_2 blir ett vitt brus.

Om STURE2 konvergerar mot en minimal variansregulator så kommer y_2 att uppträda som brus i system 1, som då också får frikopplad karaktär, vilket förenklar analysen.

För de system som simulerats gäller att:

$$a_{11} = -0.9, \quad a_{22} = -0.8, \quad r_{11} = r_{22} = 1$$

medan a_{12}, c_{11}, c_{22} och r_{12} varierar.

Vi skiljer mellan tre fall med olika karaktär på bruset.

A. Vitt okorrelerat brus

dvs. $c_{11} = c_{22} = 0, \quad r_{12} = 0.$

Att $r_{12} = 0$ innebär att e_1 och e_2 är okorrelerade.

System 2 beskrivs alltså av modellen

$$y_2(t) + a_{22}y_2(t-1) = u_2(t-1) + e_2(t)$$

och en optimal strategi för STURE2 ges av minimalvariansstrategin:

$u_2(t) = a_{22}y_2(t)$, vilken medför $y_2(t) = e_2(t)$ och således

$$V_2 = \text{var}(y_2) = r_{22}.$$

System 1 beskrivs i så fall av modellen

$$y_1(t) + a_{11}y_1(t-1) = u_1(t-1) + e_1(t) - a_{12}e_2(t-1).$$

"Minimalvariansstrategin" $u_1(t) = a_{11}y_1(t)$ ger:

$$V_1 = \text{var}(y_1) = r_{11} + a_{12}^2 r_{22}.$$

Under förutsättning att system 2 styrs med minimal varians blir således effekten av interaktionen att "extra" brus uppträder i system 1.

Det är nu intressant att se om STURE1 och 2 konvergerar mot minimal variansregulatorerna ovan.

Simuleringar

Figur 4.1 visar parameterskattningar och ackumulerad förlust i fallet $a_{12}=0.5$ ($r_{11}=r_{22}=1$). Styrlagarna i regulatorerna är $u_1(t) = \alpha y_1(t)$ resp. $u_2(t) = \alpha y_2(t)$ och vi ser att parametrarna konvergerar mot "rätt"värden (streckade i fig. 4.1). Förlusterna blev $V_1 = 1.24$ och $V_2 = 1.07$ per steg i god överensstämmelse med teorins $V_1 = 1.25$, $V_2 = 1.00$. (V_1 införes i tabell 4.1) Kanske kan överensstämmelsen mellan teori och praktik synas mindre god. Detta är dock endast en stokastisk effekt. Bruset genereras ju med hjälp av två sviter av stokastiska variabler och används andra sviter än ovan erhålls något annorlunda, ofta "snyggare", resultat. Som exempel på vad som händer med andra brussviter kan nämnas $V_1 = 1.26$, $V_2 = 0.93$ samt parameterskattningar enligt fig. 4.2.

B. Färgat okorrelerat brus

dvs. $(c_{11}, c_{22}) \neq (0,0)$, $r_{12} = 0$.

På samma sätt som i föregående avsnitt erhålles:

System 2 : Minimalvariansstrategin är $u_2(t) = (a_{22} - c_{22})y_2(t)$ och ger $y_2(t) = e_2(t)$ och alltså $V_2 = r_{22}$.

System 1: $y_1(t) + a_{11}y_1(t-1) = u_1(t-1) + e_1(t) + c_1e_1(t-1) - a_{12}e_2(t-1)$

Vi kan skriva:

$$e_1(t) + c_1e_1(t-1) - a_{12}e_2(t-1) = e_0(t) + ce_0(t-1)$$

där $e_0(t)$ är "ekvivalent", vitt brus med varians r_{00} .

Med $u_1(t) = (a_{11} - c)y_1(t)$ får vi minimal varians: $V_1 = r_{00}$.

Simuleringar

Betrakta samma exempel som ovan med tillägget $c_{11} = -0.5$, $c_{22} = -0.25$. Med dessa värden blir $c = -0.38$ och $r_{00} = 1.31$ och regulatorerna konvergerade mot motsvarande struktur. (Se tabell 4.1)

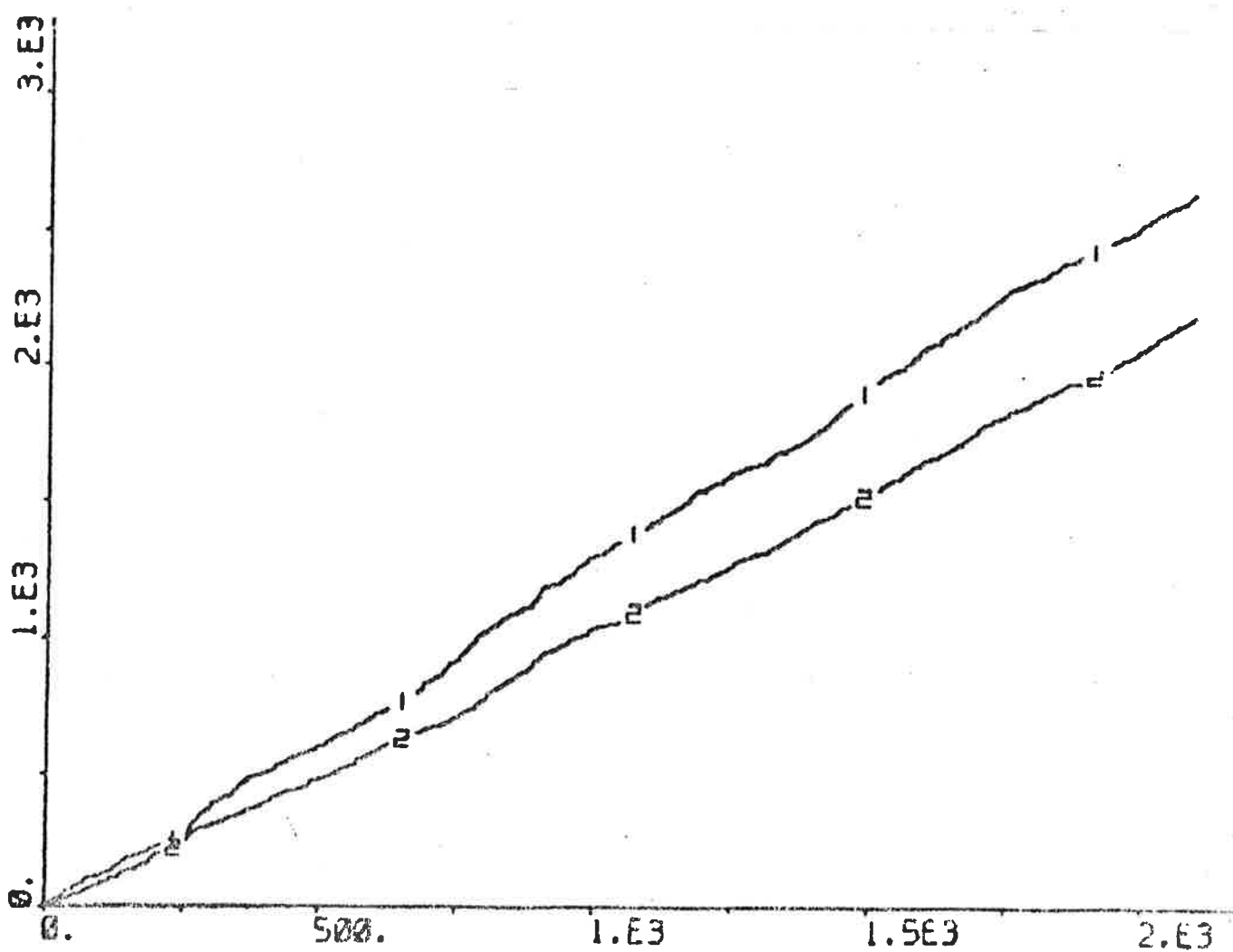
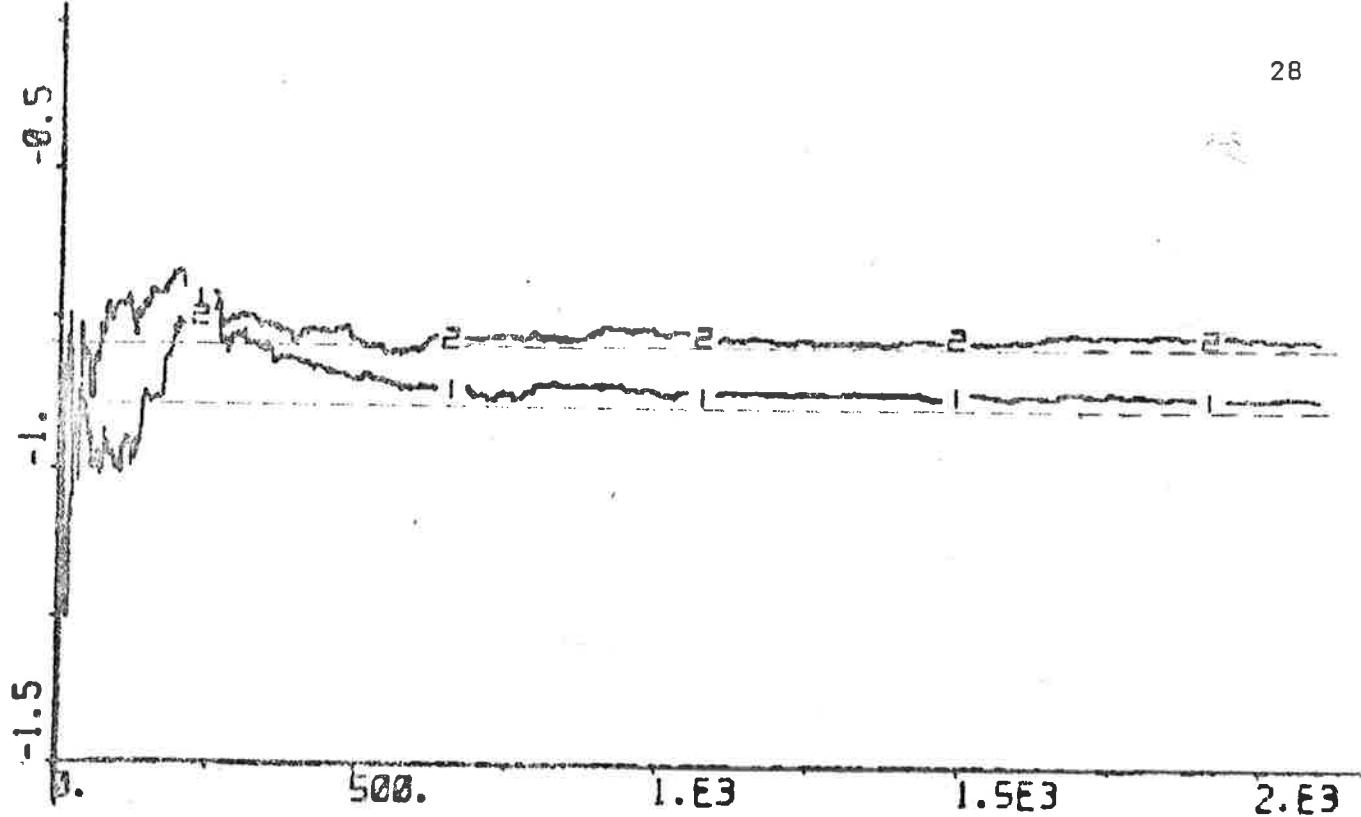


Fig. 4.1 Parameterskattningar och ackumulerad förlust
 $a_{12} = 0.5$. ($r_{11} = r_{22} = 1$)

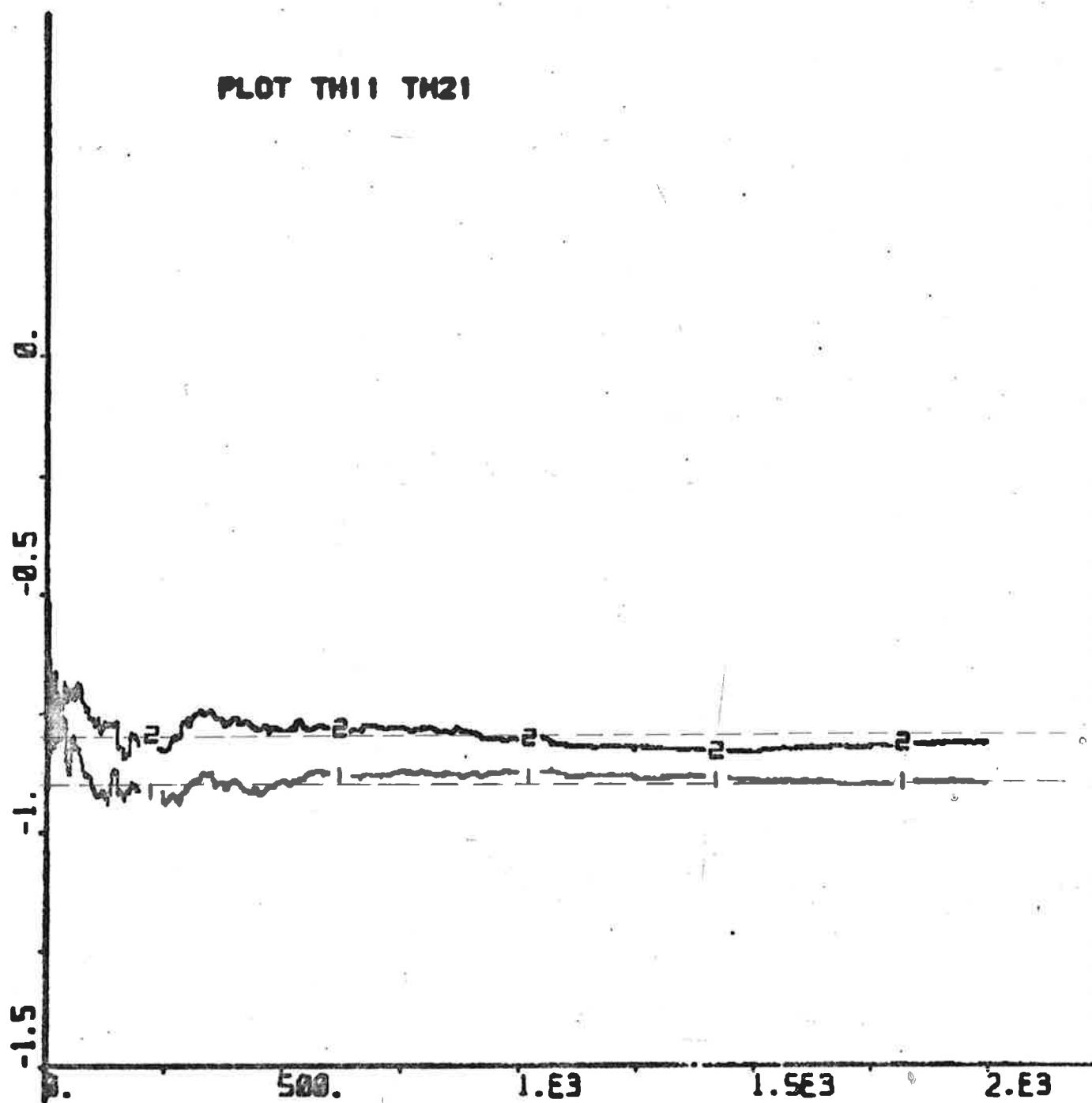


Fig. 4.2 Parameterskattningar med andra brussvitor än i fig. 4.1

C. Vitt, korrelerat brus

dvs. $c_{11}=c_{22}=0$, $r_{12} \neq 0$

System 2: $u_2(t) = a_{22}y_2(t)$ ger $y_2(t) = e_2(t)$ och alltså $V_2 = r_{22}$.

System 1: $y_1(t) + a_{11}y_1(t-1) = u_1(t-1) + e_1(t) - a_{12}e_2(t-1)$

Vi skriver $e_1(t) - a_{12}e_2(t-1) = e_0(t) + ce_0(t-1)$ och får åter minimal varians, $V_1 = r_{00}$ för $u_1(t) = (a_{11} - c)y_1(t)$.

Simuleringar

I dessa exempel är $c_{11}=c_{22}=0$, $r_{12} = 0.3, 0.7, 1.0$ och $a_{12} = 0.5, 0.9, -0.99, 3.0$. Även här konvergerade regulatorerna mot minimal varians. (Se tabell 4.1)

D. Några modifieringar

Om STURE1 får tillgång till $y_2(t)$, dvs. ges strukturen:

$$y_1(t) + \alpha' y_1(t-1) + \gamma' y_2(t-1) = u_1(t-1) + \varepsilon_1(t)$$

med styrlag:

$u_1(t) = \alpha' y_1(t) + \gamma' y_2(t)$ kan de förluster som interaktionen hittills förorsakats elimineras.

Strategin $u_1(t) = (a_{11} - c_{11})y_1(t) + a_{12}y_2(t)$ ($c_{11}=0$ i fall A och C) ger $V_1 = r_{11}$. Simuleringar har också givit detta resultat.

Med tidsfördröjning i informationsflödet skulle STURE1 ej veta $y_2(t)$, men kanske $y_2(t-1)$.

Regulatorstrukturen blir då:

$$y_1(t) + \alpha' y_1(t-1) + \gamma' y_2(t-2) = u_1(t-1) + \varepsilon_1(t)$$

Styrlag: $u_1(t) = \alpha' y_1(t) + \gamma' y_2(t-1)$.

Vi får $y_1(t) + a_{11}y_1(t-1) + a_{12}y_2(t-1) = \alpha' y_1(t-1) + \gamma' y_2(t-2) + e_1(t) + c_{11}e_1(t-1)$ (*)

I fall A med vitt, okorrelerat brus kan vi inte uppnå några förbättringar med denna modell, men i fall B med färgat brus ger strategin

$$u_1(t) = (a_{11} - c_{11})y_1(t) - a_{12}c_{11}y_2(t-1)$$

variansen $V_1 = r_{11} + a_{12}^2 r_{22}$, dvs vi har eliminerat inverkan av

"brusets färg".

Beträffande fall C ser vi att $y_2(t-2)$ inte är korrelerad med någon annan term i (*), varför vi inte väntar någon förbättring. Simuleringarna tyder dock på att vi kan uppnå små förbättringar jämfört med den enklare regulatorn.

I stället för till $y_2(t-1)$ kan vi ge STURE1 tillgång till $u_2(t-1)$. Detta ger likvärdiga resultat, ty styrlagen i STURE2 är $u_2(t) = \alpha y_2(t)$, där förhoppningsvis $\alpha \approx a_{22} - c_{22}$.

Vi har alltså $u_2(t) \approx \text{konstant} \cdot y_2(t)$ och modellen $y_1(t) + \alpha y_1(t-1) = u_1(t-1) + \delta' u_2(t-2) + \xi_1(t)$ är ekvivalent med den tidigare $y_1(t) + \alpha y_1(t-1) + \delta' y_2(t-2) = u_1(t-1) + \xi_1(t)$.

I tabell 4.1 visas V_1 i några simuleringar.

Vi konstaterar först att V_1 mycket sällan skiljer sig från den teoretiskt beräknade minimala variansen (given inom parentes).

Fallet att STURE1 vet $y_2(t)$ förutsätter att information kan överföras utan tidsfördröjning och resultatet blir det samma som skulle uppnåtts med central styrning.

I horisontell led kan vi nu se vad det kostar med "sant" decentraliserad reglering. Förlusterna ökar alltså avsevärt jämfört med "idealfallet" (med $y_2(t)$ i STURE1).

Däremot är skillnaderna mellan övriga fall avsevärt mindre.

brus	"inter- aktion" a_{12}	V_1 per steg om STURE1 har tillgång till:				
		endast $y_1(t), u_1(t-1)$	dessutom $y_2(t)$ $y_2(t-1)$ $u_2(t-1)$			
A. vitt, okorrelerat brus	0.5	1.24 (1.25)	1.02 (1.00)	1.24 (1.25)	1.24 (1.25)	
B. färgat, okorrelerat brus $c_1 = -0.5, c_2 = -0.25$	0.5	1.31 (1.31)	1.02 (1.00)	1.24 (1.25)	1.24 (1.25)	
C. vitt, korrelerat brus $r_{12} = 1.0$	{	0.5	1.01 (1.00)	1.01 (1.00)	1.01	1.01
		0.9	1.02 (1.00)	" "	1.03	1.02
		0.99	1.11 (1.00)	" "	1.07	1.05
		3.0	9.29 (9.00)	" "	7.14	7.22
$r_{12} = 0.7$	{	0.5	1.14 (1.14)	1.01 "	1.13	1.13
		0.9	1.57 (1.55)	1.02 "	1.49	1.48
		0.99	1.74 (1.70)	1.02 "	1.60	1.60
$r_{12} = 0.3$	{	0.5	1.23 (1.23)	1.01 "	1.22	1.22
		0.9	1.95 (1.77)	1.02 "	1.75	1.75
		0.99	1.95 (1.94)	1.02 "	1.91	1.91

Tabell 4.1 Förluster vid enkelriktad interaktion.

Teoretiskt beräknade värden ges inom parentes.

Exempel 4.2 - Dubbelriktad interaktion.

Betrakta ett system givet av modellen

$$y(t) + \begin{pmatrix} a_{11} & a_{12} \\ a_{21} & a_{22} \end{pmatrix} y(t-1) = u(t-1) + e(t)$$

Den optimala styrlagen för detta system är

$$u(t) = \begin{pmatrix} a_{11} & a_{12} \\ a_{21} & a_{22} \end{pmatrix} y(t)$$

och ger $V_1 = r_{11}$, $V_2 = r_{22}$.

Vi vill emellertid inte tillåta informationsutbyte mellan regulatorerna utan skall uteslutande använda regulatorstrukturer vars styrlagar får formen

$$\begin{cases} u_1(t) = f_1(y_1(t), y_1(t-1), \dots) \\ u_2(t) = f_2(y_2(t), y_2(t-1), \dots) \end{cases}$$

I simuleringarna gäller: $a_{11} = -0.9$, $a_{22} = -0.8$, $r_{22} = 1$, $r_{12} = 0$
och om annat ej anges: $a_{12} = 0.5$, $r_{11} = 1$

1 + 1 parametrar

Vi försöker först med den "gamla" strukturen med en parameter i varje STURE:

$$\begin{cases} y_1(t) + \alpha y_1(t-1) = u_1(t-1) + \varepsilon_1(t) \\ y_2(t) + \alpha y_2(t-1) = u_2(t-1) + \varepsilon_2(t) \end{cases}$$

Styrlag:
$$\begin{cases} u_1(t) = \alpha y_1(t) \\ u_2(t) = \alpha y_2(t) \end{cases}$$

För det slutna systemet gäller alltså:

$$y(t) + \begin{pmatrix} a_{11} - d_1 & a_{12} \\ a_{21} & a_{22} - d_2 \end{pmatrix} y(t-1) = e(t) \quad \Leftrightarrow$$

$$(I + Aq^{-1})y(t) = e(t) \quad \text{där} \quad A = \begin{pmatrix} k_{11} & k_{12} \\ k_{21} & k_{22} \end{pmatrix} = \begin{pmatrix} a_{11} - d_1 & a_{12} \\ a_{21} & a_{22} - d_2 \end{pmatrix} \quad \Leftrightarrow$$

$$y(t) = (I + Aq^{-1})^{-1} e(t) \quad \Leftrightarrow$$

$$\begin{cases} y_1(t) = \{ (1 + k_{22}q^{-1})e_1(t) - k_{12}q^{-1}e_2(t) \} \\ y_2(t) = \{ -k_{21}q^{-1}e_1(t) + (1 + k_{11}q^{-1})e_2(t) \} \end{cases} \quad \begin{cases} \{ 1 + (k_{11} + k_{22})q^{-1} + (k_{11}k_{22} - k_{12}k_{21})q^{-2} \} \\ \{ 1 + (k_{11} + k_{22})q^{-1} + (k_{11}k_{22} - k_{12}k_{21})q^{-2} \} \end{cases}$$

Vi kan nu beräkna V_1 och V_2 på formen

$$\begin{cases} V_1 = Ey_1^2 = f_{11} + r_{11} + f_{12} \cdot r_{22} \\ V_2 = Ey_2^2 = f_{21} \cdot r_{11} + f_{22} \cdot r_{22} \end{cases}$$

och sedan $V = V_1 + V_2$.

Att direkt minimera V med avseende på (α_1, α_2)

dvs. (k_{11}, k_{22}) är tyvärr ganska knepigt.

Låt oss försöka en omväg!

Enligt [2] gäller att om parameterskattningarna konvergerar så gäller:

$$\begin{cases} r_{y_1}(1) = Ey_1(t)y_1(t-1) = 0 \\ r_{y_2}(1) = Ey_2(t)y_2(t-1) = 0 \end{cases}$$

En lösning till detta ekvationssystem är $k_{11} = k_{22} = 0$ och åtminstone om $r_{11} = r_{22}$ är detta också den enda stabila lösningen.

Nu är det naturligt att fråga sig om V har minimum i origo. Som svar får vi nöja oss med att origo åtminstone är en stationär punkt ($\frac{\partial V}{\partial k_{11}} = \frac{\partial V}{\partial k_{22}} = 0$).

Observera att $\begin{cases} k_{11} = 0 \\ k_{22} = 0 \end{cases}$ motsvarar $\begin{cases} \alpha' = a_{11} \\ \alpha'' = a_{22} \end{cases}$

Vid simulering konvergerade regulatorparametrarna mot dessa värden och förlusterna mot motsvarande värden, se tabell 4.2.

a_{21}	central styrning			decentraliserad styrning					
	teoretiskt optimalt			teoretiskt för $k_{11}=k_{22}=0$			simulerat		
	V_1	V_2	V	V_1	V_2	V	V_1	V_2	V
0.1	1.00	1.00	2.00	1.25	1.01	2.26	1.25	1.09	2.34
0.5	1.00	1.00	2.00	1.33	1.33	2.67	1.33	1.44	2.77
1.0	1.00	1.00	2.00	1.67	2.67	4.34	1.65	2.80	4.45

Tabell 4.2 Förluster vid central resp. decentraliserad styrning.

Med hjälp av program utarbetade vid institutionen beräknades kovarianserna $r_{y_1}(\tau)$ och $r_{y_2}(\tau)$.

I tabell 4.3 visas autokorrelationsfunktionerna $\rho_{y_1}(\tau)$ och $\rho_{y_2}(\tau)$ ($\rho_{y_i}(\tau) = \frac{r_{y_i}(\tau)}{r_{y_i}(0)}$) för simuleringen med $a_{21} = 0.5$.

-Mycket riktigt är $r_{y_1}(1)$ och $r_{y_2}(1)$ mycket små.

τ	$\xi_{y_1}(\tau)$	$\xi_{y_2}(\tau)$
1	$9.7 \cdot 10^{-3}$	$-1.7 \cdot 10^{-2}$
2	0.26	0.23
3	$2.8 \cdot 10^{-2}$	$2.1 \cdot 10^{-2}$
4	$-7.5 \cdot 10^{-4}$	$3.9 \cdot 10^{-2}$
5	$1.1 \cdot 10^{-2}$	$-3.4 \cdot 10^{-2}$
6	$-7.2 \cdot 10^{-2}$	$1.7 \cdot 10^{-2}$
7	$1.5 \cdot 10^{-2}$	$1.7 \cdot 10^{-4}$
8	$1.2 \cdot 10^{-2}$	$4.9 \cdot 10^{-2}$
9	$6.2 \cdot 10^{-2}$	$9.5 \cdot 10^{-3}$
10	$1.5 \cdot 10^{-2}$	$5.5 \cdot 10^{-2}$

Tabell 4.3 Autokorrelation för $a_{12}=a_{21}=0.5$

2 + 1 (1+2) parametrar

Som rubriken antyder ändrar vi modellen till

$$\begin{cases} y_1(t) + d_1' y_1(t-1) + d_2' y_1(t-2) = u_1(t-1) + \varepsilon_1(t) \\ y_2(t) + d_1'' y_2(t-1) = u_2(t-1) + \varepsilon_2(t) \end{cases}$$

Styrlag:
$$\begin{cases} u_1(t) = d_1' y_1(t) + d_2' y_1(t-1) \\ u_2(t) = d_1'' y_2(t) \end{cases}$$

Vi får:

$$\begin{pmatrix} 1 + (a_{11} - d_1')q^{-1} - d_2'q^{-2} & a_{12}q^{-1} \\ a_{21}q^{-1} & 1 + (a_{22} - d_1'')q^{-1} \end{pmatrix} y(t) = e(t)$$



$$y(t) = \frac{1}{1 + \{(a_{11} - \alpha_1') + (a_{22} - \alpha_1'')\} q^{-1} + \{(a_{11} - \alpha_1') (a_{22} - \alpha_1'') - (\alpha_2' + a_{12} a_{21})\} q^{-2} - \alpha_2' (a_{22} - \alpha_1'') q^{-3}}$$

$$\cdot \begin{pmatrix} 1 + (a_{22} - \alpha_1'') q^{-1} & -a_{12} q^{-1} \\ -a_{21} q^{-1} & 1 + (a_{11} - \alpha_1') q^{-1} - \alpha_2' q^{-2} \end{pmatrix} e(t)$$

Om $\alpha_1' = a_{11}$, $\alpha_1'' = a_{22}$ och $\alpha_2' = -a_{12} a_{21}$ erhålles

$$\begin{cases} y_1(t) = e_1(t) - a_{12} e_2(t-1) \\ y_2(t) = -a_{21} e_1(t-1) + e_2(t) + a_{12} a_{21} e_2(t-2) \end{cases}$$

dvs. glidande medelvärde och $r_{y_1}(1) = r_{y_1}(2) = r_{y_2}(1) = 0$ som sig bör.

$$\begin{cases} V_1 = r_{11} + a_{12}^2 r_{22} \\ V_2 = a_{21}^2 r_{11} + (1 + a_{12} a_{21}) r_{22} \end{cases}$$

$$\Rightarrow V^1 = (1 + a_{21}^2) r_{11} + (a_{12}^2 a_{21}^2 + 1 + a_{12}^2) r_{22}$$

Om vi i stället låter STURE2 ha 2 parametrar (alltså 1+2) får vi på samma sätt (med $\alpha_1' = a_{11}$, $\alpha_1'' = a_{22}$ och $\alpha_2'' = -a_{12} a_{21}$)

$$\begin{cases} V_1 = (1 + a_{12}^2 a_{21}^2) r_{11} + a_{12}^2 r_{22} \\ V_2 = a_{21}^2 r_{11} + r_{22} \end{cases}$$

$$\Rightarrow V^2 = (1 + a_{21}^2 + a_{12}^2 a_{21}^2) r_{11} + (1 + a_{12}^2) r_{22}$$

I simuleringarna har regulatorparametrarna konvergerat mot de värden vi "gissat" ovan, och i tabell 4.4 visas förluster-
na i några fall.

Av $V^1 - V^2 = a_{12}^2 a_{21}^2 (r_{22} - r_{11})$ framgår att man bör ha 2 parametrar i STURE1 om $r_{11} \rightarrow r_{22}$ och vice versa.

Detta förhållande illustreras nederst i tabell 4.4 där $r_{11} = r_{22}$. V minskar om vi ökar parameteruppsättningen från 1+1 till 1+2 och blir ännu mindre för 2+1.

1 + 1 parametrar			
a_{21}	V_1	V_2	V
0.1	1.25 (1.25)	1.09 (1.01)	2.34 (2.26)
0.5	1.33 (1.33)	1.44 (1.33)	2.77 (2.67)
1.0	1.65 (1.67)	2.80 (2.67)	4.45 (4.34)
1.0	5.57 (5.67)	6.80 (6.67)	12.37 (12.33)
$r_{11}=4$			
2 + 1 parameter			
a_{21}	V_1	V_2	V
0.1	1.24 (1.25)	1.09 (1.01)	2.33 (2.26)
0.5	" "	1.42 (1.31)	2.66 (2.56)
1.0	" "	2.40 (2.25)	3.64 (3.50)
1.0	4.25 (4.25)	5.49 (5.25)	9.74 (9.50)
$r_{11}=4$			
1 + 2 parametrar			
a_{21}	V_1	V_2	V
0.1	1.25 (1.25)	1.09 (1.01)	2.34 (2.26)
0.5	1.33 (1.31)	1.37 (1.25)	2.70 (2.56)
1.0	1.54 (1.50)	2.22 (2.00)	3.76 (3.50)
1.0	5.38 (5.25)	5.32 (5.00)	10.70 (10.24)
$r_{11}=4$			

Tabell 4.4 Förluster vid olika parameteruppsättningar.
Beräknade värden är givna inom parentes.

2 + 2 parametrar

Det är nu naturligt att studera vad som händer om både STURE1 och STURE2 har två parametrar, dvs. ges modellerna:

$$\begin{cases} y_1(t) + \alpha_1 y_1(t-1) + \alpha_2 y_1(t-2) = u_1(t-1) + \varepsilon_1(t) \\ y_2(t) + \alpha_1 y_2(t-1) + \alpha_2 y_2(t-2) = u_2(t-1) + \varepsilon_2(t) \end{cases}$$

För det slutna systemet gäller då

$$Y(t) = \frac{1}{1 + \{(a_{11} - \alpha_1') + (a_{22} - \alpha_1'')\} q^{-1} + \{(a_{11} - \alpha_1')(a_{22} - \alpha_1'') - (\alpha_2' + \alpha_2'' + a_{12}a_{21})\} q^{-2} - \{\alpha_2'(a_{22} - \alpha_1'') + \alpha_2''(a_{11} - \alpha_1')\} q^{-3}} \cdot \frac{1}{+\alpha_2'\alpha_2''q^{-4}} \cdot \begin{pmatrix} 1 + (a_{22} - \alpha_1'')q^{-1} - \alpha_2''q^{-2} & -a_{12}q^{-1} \\ -a_{21}q^{-1} & 1 + (a_{11} - \alpha_1')q^{-1} - \alpha_2'q^{-2} \end{pmatrix} \cdot e(t)$$

Kommer parametrarna att konvergera så att $\alpha_2' = 0$ eller $\alpha_2'' = 0$?
 Det skulle betyda att vi kom tillbaka till situationen i förra avsnittet. - Eller finns det några parametervärden som ger bättre reglering?

I tabell 4.5 a) och fig. 4.3 visas resultatet för systemet
 $y(t) + \begin{pmatrix} -0.9 & 0.5 \\ 1.0 & -0.8 \end{pmatrix} \cdot y(t-1) = u(t-1) + e(t)$
 dvs. $a_{12} = 0.5$, $a_{21} = 1.0$, $-a_{12}a_{21} = -0.5$ med $r_{11} = 4$, $r_{22} = 1$.

Ingen av parametrarna konvergerar således mot noll, men i varje fall blir $|\alpha_2'| > |\alpha_2''|$ och förlusten inte mycket större än i idealfallet $\alpha_2'' = 0$.

Del b) av tabell 4.5 redovisar en undersökning av huruvida extremfallen $\alpha_2' = 0$ respektive $\alpha_2'' = 0$ är stabila. I dessa simuleringar har parametrarna fått startvärdena:

$$\alpha_{10}' = -0.9, \alpha_{10}'' = -0.8 \text{ samt}$$

$$\begin{cases} \alpha_{20}' = -0.5 \\ \alpha_{20}'' = 0 \end{cases} \text{ resp. } \begin{cases} \alpha_{20}' = 0 \\ \alpha_{20}'' = -0.5 \end{cases}$$

dessutom diagonalelementen i minstakvadrat algoritmens kovariansmatriser $p_0 = 0.001$, vilket innebär att regulatorerna sätter stor tilltro till startvärdena. Konvergensen blir då något långsammare beroende på att elementen i kovariansmatriserna blir mycket små fortare än tidigare.

Efter 4100 steg var

$$\begin{cases} \alpha'_2 = -0.49 \\ \alpha''_2 = -0.096 \end{cases} \quad (\text{se fig, 4.4}) \quad \text{resp.} \quad \begin{cases} \alpha'_2 = -0.44 \\ \alpha''_2 = -0.23 \end{cases}$$

Extremfallen $\alpha'_2=0$ respektive $\alpha''_2=0$ tycks således inte vara stabila.

parametrar startvärden		V_1	V_2	V	α'_2	α''_2	
a.)	1+1	$\left. \begin{array}{l} \alpha_{j0}=0 \\ p_0=100 \end{array} \right\}$	5.57	6.80	12.37	-	-
	2+1		4.25	5.49	9.73	-0.51	-
	1+2		5.38	5.32	10.70	-	-0.50
	2+2		4.32	5.50	9.81	-0.49	-0.13
b.)	2+2	$\left. \begin{array}{l} \alpha'_{10} = -0.9 \\ \alpha''_{10} = -0.8 \\ p_0 = 0.001 \\ \alpha'_{20} = -0.5, \alpha''_{20} = 0 \\ \alpha'_{20} = 0, \alpha''_{20} = -0.5 \end{array} \right\}$	4.29	5.48	9.77	-0.51	-0.091
	2+2		4.50	5.55	10.05	-0.41	-0.27

Tabell 4.5 Parameterskattningar efter 2100 steg och förluster.

$$r_{11}=4, r_{22}=1, a_{12}=0.5, a_{21}=1.0$$

Enligt tidigare avsnitt gäller för systemet ovan att kvoten mellan förlusterna för 1+2 resp. 2+1 parametrar är:

$$\frac{V_2^2}{V_1^2} = 1.10, \text{ Teorin ovan ger } \frac{V_2^2}{V_1^2} = 1.08.$$

Vi skall nu se ett exempel där denna kvot är större. För $a_{12}=a_{21}=1.0, r_{11}=4, r_{22}=1$ ger teorin $\frac{V_2^2}{V_1^2} = 1.27$ och praktiken

$$\frac{V_2^2}{V_1^2} = 1.24 \text{ (se nedan)}$$

Regleringen av detta system är förenad med vissa svårigheter. Således visade det sig omöjligt att reglera med 1+1 parameter, och man kan visa att det slutna systemet är instabilt - åtminstone för $\alpha'_1=a_{11}, \alpha''_1=a_{22}$ dvs. $k_{11}=k_{22}=0$.

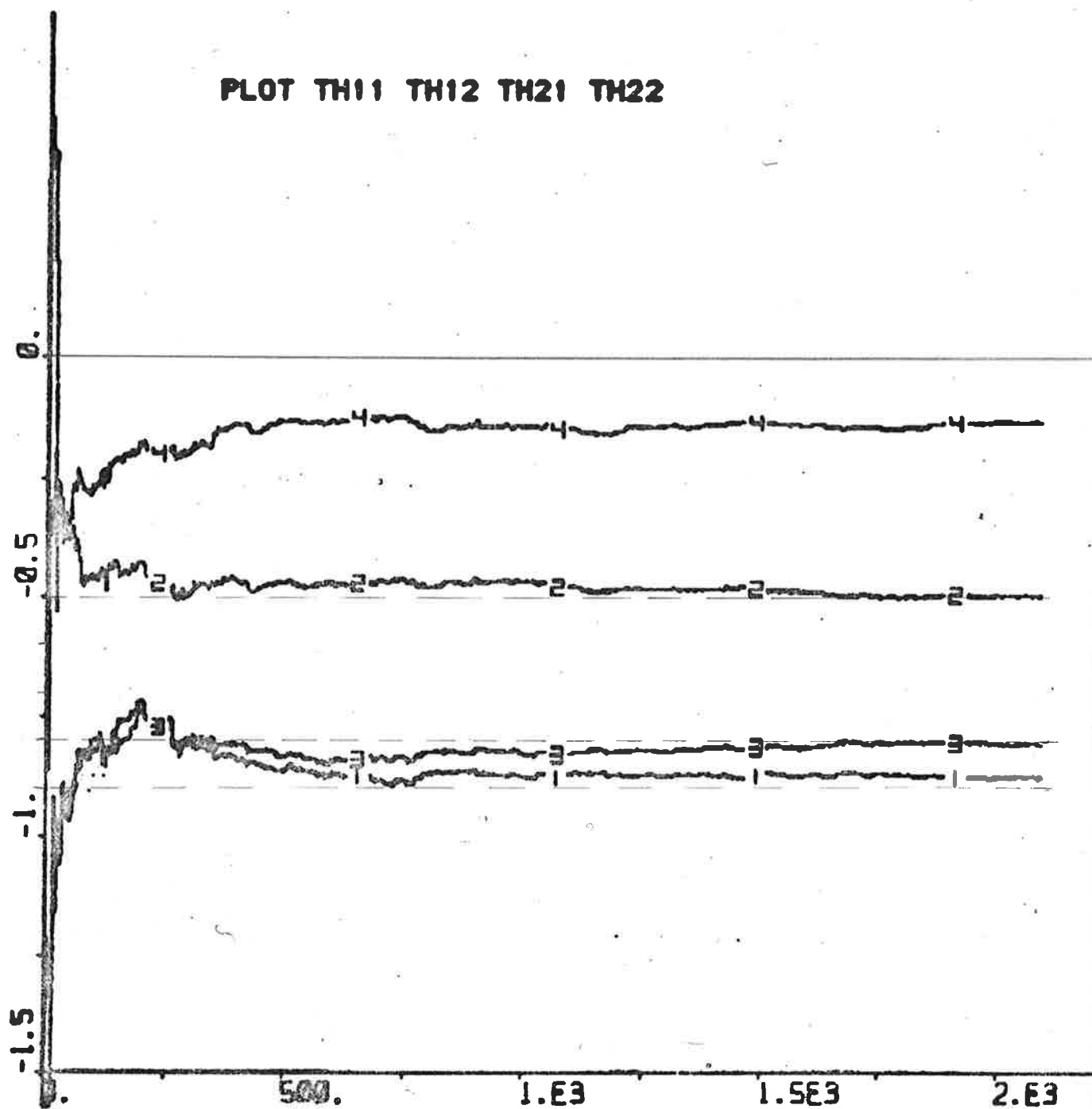


Fig. 4.3 Parameterskattningar för $a_{12}=0.5$, $a_{21}=1.0$, $r_{11}=4$, $r_{22}=1$
 Skattningarna startar i origo och $p_0=100$.

PLOT TH11 TH12 TH21 TH22

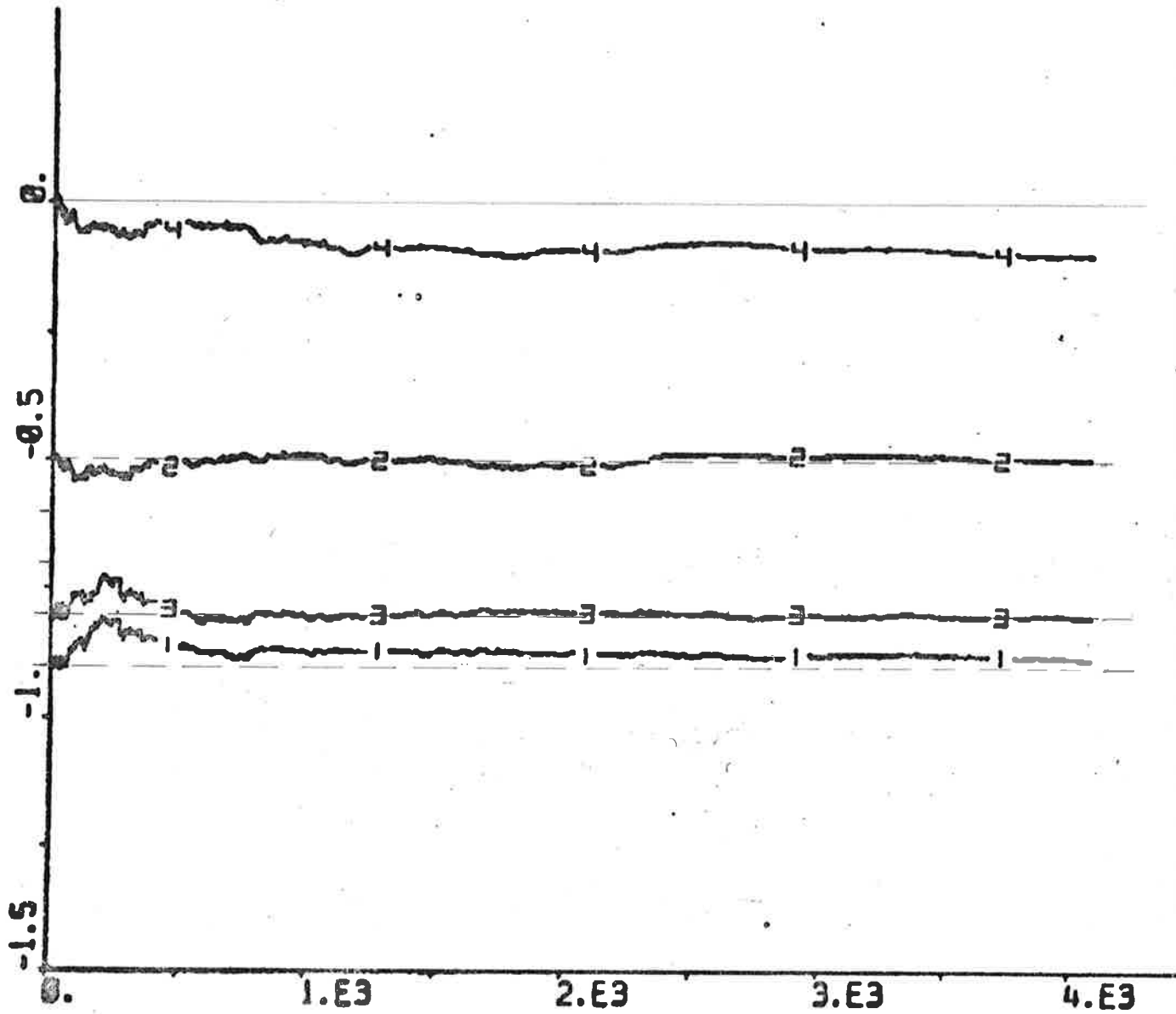


Fig. 4.4 Parameterskattningar som i fig. 4,3, men skattningarna startar i 2+1 -konfiguration och $p_0=0,001$.

Med flera parametrar konvergerade emellertid regulatorerna, ehuru långsamt. För att råda bot på denna slöhet användes "exponentiell glömska" (se avsnitt 2) med glömskefaktorn $\lambda = 0,995$. Parametrarna svängde då in sig avsevärt snabbare men oscillerade kraftigare även vid jämvikt, varför den andra decimalen i parameterskattningarna bör tas med en nypa salt. (se fig. 4.5) I tabell 4.6 visas parameterskattningarna efter 5000 steg samt förlusterna mellan $T = 5000$ och $T = 6000$. Även i detta exempel ger 2+2-konfigurationen förluster av samma storlek som den bättre av de enklare konfigurationerna.

parametrar	startvärden	V_1	V_2	V	α'_2	α''_2
2+1	$\alpha_{j0}=0$ $p_0=100$	4.72	5.65	10.37	-1.00	-
1+2		8.15	4.69	12.84	-	-0.99
2+2		4.79	5.55	10.34	-0.96	-0.20

Tabell 4.6 Parameterskattningar efter 5000 steg och förluster per steg mellan $T=5000$ och $T=6000$.

$$r_{11}=4, r_{22}=1, a_{12}=1.0, a_{21}=1.0, \lambda = 0.995$$

Extremfallen $\begin{cases} \alpha'_{20} = -1.0 \\ \alpha''_{20} = 0.0 \end{cases}$ resp. $\begin{cases} \alpha'_{20} = 0.0 \\ \alpha''_{20} = -1.0 \end{cases}$ undersöktes

med $p_0=0.0001$, men tycks inte vara stabila.

Färgat och korrelerat brus

Många av de exempel, av vilka några relateras ovan, som simulerats med vitt, okorrelerat brus har testats dels med färgat och dels med korrelerat brus.

PLOT TH11 TH12 TH21 TH22

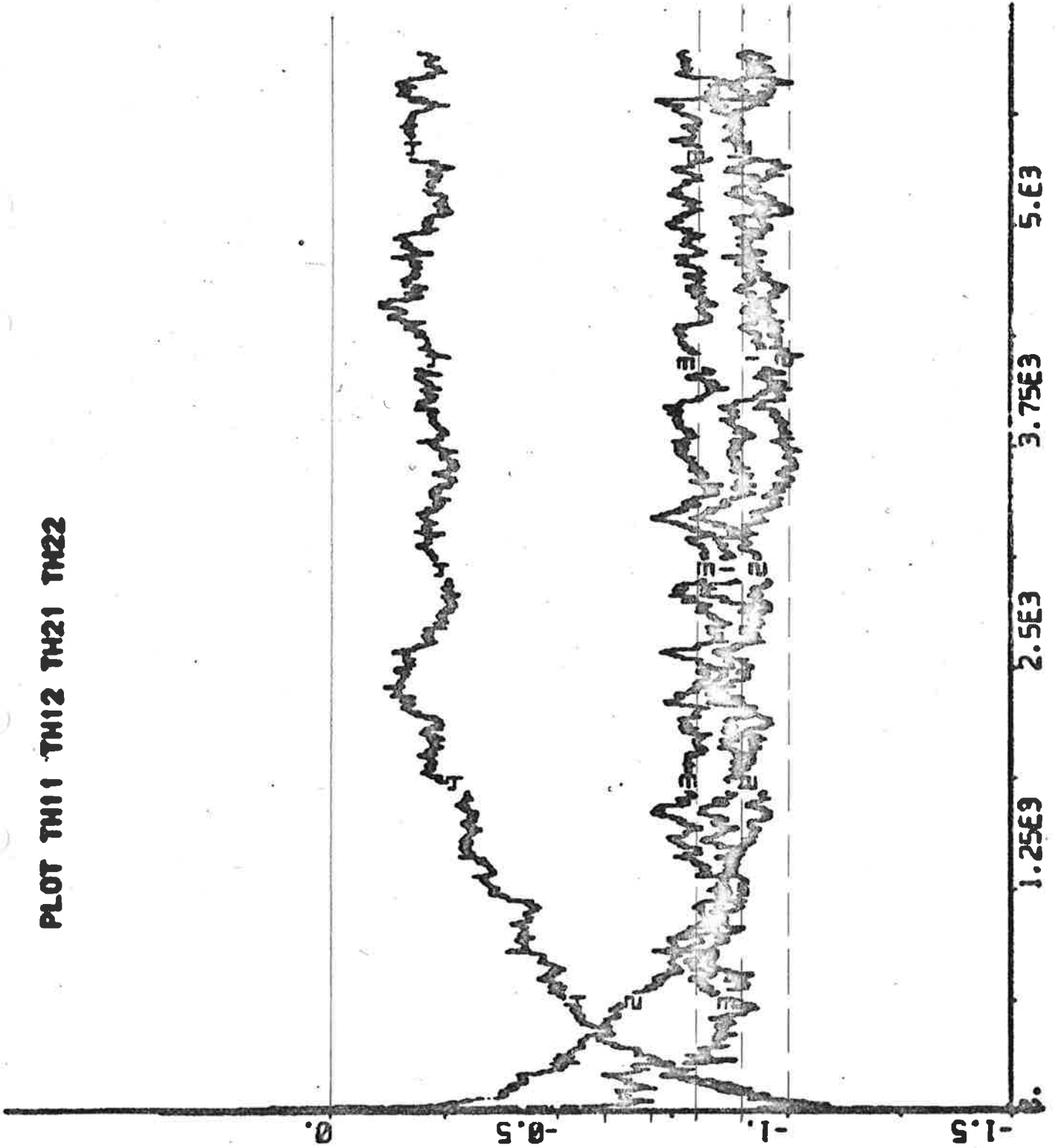


Fig. 4.5 Parameterskattningar för $a_{12}=a_{21}=1$, $r_{11}=4$, $r_{22}=1$
 Skattningarna startar i origo och $p=100$, $\epsilon = 0.995$

Resultaten från dessa simuleringar ligger helt i linje med vad som redan beskrivits, dvs. man kan så att säga superponera resultaten från exempel 4.1 och exempel 4.2.

Anmärkning

I några av simuleringarna i detta avsnitt har styrsignalerna begränsats ($u_{lim}=15$) för att minska förlusterna under insvängningsförloppet. Är dessa mycket större än förlusterna i senare skeden kan nämligen den ackumulerade förlusten bli så stor under insvängningen att signifikansen sedan inte räcker för att med nöjaktig noggrannhet beräkna de förändringar som förlusterna åstadkommer (dvs, förlusterna per steg). Någon icke önskvärd effekt torde denna åtgärd inte ha haft, ty utsignalerna nådde gränsen endast i ett fåtal steg.

Exempel 4.3 - Koppling genom styrsignalen

Vi studerar systemen

$$y(t) + \begin{pmatrix} a_{11} & 0 \\ 0 & a_{22} \end{pmatrix} y(t-1) = \begin{pmatrix} b_{11} & b_{12} \\ b_{21} & b_{22} \end{pmatrix} u(t-1) + e(t)$$

Den optimala styrlagen är

$$u(t) = \begin{pmatrix} b_{11} & b_{12} \\ b_{21} & b_{22} \end{pmatrix}^{-1} \begin{pmatrix} a_{11} & 0 \\ 0 & a_{22} \end{pmatrix} y(t)$$

och ger $V_1 = r_{11}$, $V_2 = r_{22}$.

Låt oss reglera med STURE1 och STURE2 med samma strukturer som förut, dvs. exempelvis (1+2)

$$\begin{cases} y_1(t) + d_1 y_1(t-1) & = u_1(t-1) + \varepsilon_1(t) \\ y_2(t) + d_1 y_2(t-1) + d_2 y_2(t-2) & = u_2(t-1) + \varepsilon_2(t) \end{cases}$$

Den teoretiska behandlingen blir något mer komplicerad än den i exempel 4.2, om än likartad. Vi nöjer oss med simuleringen.

Exempel : $y(t) + \begin{pmatrix} -0.9 & 0 \\ 0 & -0.8 \end{pmatrix} y(t-1) = \begin{pmatrix} 1 & 0.5 \\ -0.7 & 1 \end{pmatrix} u(t-1) + e(t)$

Resultaten följer samma mönster som tidigare, jämför tabell 4.7 där $r_{11}=1$, $r_{22}=4$.

parametrar	startvärden	V_1	V_2	V
1+1	$\left. \begin{array}{l} \alpha_{j0}=0 \\ p_0=100 \end{array} \right\}$	1.69	4.76	6.45
2+1		1.55	4.78	6.34
1+2		1.67	4.47	6.13
2+2		1.61	4.52	6.13

Tabell 4.7 Förluster vid koppling genom styrsignalen.

$$r_{11}=1, r_{22}=4$$

Exempel 4.4 - Tillämpningsexempel 1

Detta exempel omfattar ett system som visade sig svårt att styra.

Vi utgår från ett kontinuerligt system med överföringsfunktionen:

$$G(s) = \frac{1}{1.25(s+1)(s+2)} \begin{pmatrix} s-1 & s \\ -6 & s-2 \end{pmatrix} \quad (4.2)$$

Den diskreta motsvarigheten med samplingstiden 0.5 s blir:

$$y(t) + \begin{pmatrix} -0.9744 & 0 \\ 0 & -0.9744 \end{pmatrix} y(t-1) + \begin{pmatrix} 0.2231 & 0 \\ 0 & 0.2231 \end{pmatrix} y(t-2) = \begin{pmatrix} 0.1290 & 0.1909 \\ -0.3716 & 0.0671 \end{pmatrix} u(t-1) + \begin{pmatrix} -0.2285 & -0.1909 \\ -0.2254 & -0.2660 \end{pmatrix} u(t-2) + e(t) \quad (4.3)$$



def.
 \Leftrightarrow

$$y(t) + A_1 y(t-1) + A_2 y(t-2) = B_1 u(t-1) + B_2 u(t-2) + e(t)$$

En minimalvariansregulator ges av

$$u(t) = B_1^{-1} \{ A_1 y(t) + A_2 y(t-1) - B_2 u(t-1) \} \quad \Leftrightarrow$$

$$u(t) = \begin{pmatrix} -0.821 & 2.337 \\ -4.549 & -1.579 \end{pmatrix} y(t) + \begin{pmatrix} 0.188 & -0.535 \\ 1.042 & 0.362 \end{pmatrix} y(t-1) - \begin{pmatrix} 0.348 & 0.477 \\ -1.432 & -1.322 \end{pmatrix} u(t-1)$$

Med motsvarande startvärden på parametrarna i regulatorerna

$$\begin{cases} y_1(t) + \alpha'_1 y_1(t-1) + \alpha'_2 y_1(t-2) + \gamma' y_2(t-1) = u_1(t-1) + \beta' u_1(t-2) + \delta' u_2(t-2) + \xi_1(t) \\ y_2(t) + \alpha''_1 y_2(t-1) + \alpha''_2 y_2(t-2) + \gamma'' y_1(t-1) = u_2(t-1) + \beta'' u_2(t-2) + \delta'' u_1(t-2) + \xi_2(t) \end{cases}$$

dvs. styrlagarna

$$u(t) = \begin{pmatrix} \alpha'_1 & \delta' \\ \gamma'' & \alpha''_1 \end{pmatrix} y(t) + \begin{pmatrix} \alpha'_2 & 0 \\ 0 & \alpha''_2 \end{pmatrix} y(t-1) - \begin{pmatrix} \beta' & \delta' \\ \delta'' & \beta'' \end{pmatrix} u(t-1)$$

och $p_0 = 0.005$ erhöles vid simulering ($r_{11} = r_{22} = 1$):

$V_1 = 1.05$, $V_2 = 1.08$. Det gick lika bra med $p_0 = 100$ och dessutom med $\lambda = 0.995$, men om parameterskattningarna fick starta i origo "havererade" systemet efter några tusen steg. Parameterskattningarna ändras plötsligt radikalt och förlusterna blev oändliga. Med färre parametrar i regulatorerna tycks endast de strukturer som användes i exempel 4.2 (1+1,, 2+2) ge stabila system. Förlusterna blir dock mycket stora, för 1+1 c:a 40 per steg och för 2+2 c:a 90 per steg. (Styrsignalen uppfyllde ungefär $|\hat{u}| \leq 100$)

Avslutningsvis följer en möjlig förklaring till svårigheten i detta exempel. Enligt [4] är det en nödvändig förutsättning för minimalvariansreglering att systemet i fråga är minimum-fas.

Systemet är visserligen minimum-fas, men försummas kopplingarna (dvs. alla matriser i (4.2) och (4.3) är diagonalmatriser) återstår delsystem som är icke minimum-fas.

Exempel 4.5 - Tillämpningsexempel 2: Rosenbrock 's exempel.

Detta sista exempel visar att STURE 's liv inte enbart är en dans på rosor.

Betrakta ett kontinuerligt system med överföringsfunktion

$$G(s) = \begin{pmatrix} \frac{1}{s+1} & \frac{2}{s+3} \\ \frac{1}{s+1} & \frac{1}{s+1} \end{pmatrix}$$

Den diskreta motsvarigheten med $T=0,1s$ blir:

$$\begin{aligned} y(t) + \begin{pmatrix} -1.6457 & 0 \\ 0 & -0.9048 \end{pmatrix} y(t-1) + \begin{pmatrix} 0.6703 & 0 \\ 0 & 0 \end{pmatrix} y(t-2) = \\ = \begin{pmatrix} 0.0952 & 0.1728 \\ 0.0952 & 0.0952 \end{pmatrix} u(t-1) + \begin{pmatrix} -0.0705 & -0.1563 \\ 0 & 0 \end{pmatrix} u(t-2) + e(t) \end{aligned} \quad (4.4)$$

\Leftrightarrow (def.)

$$y(t) + A_1 y(t-1) + A_2 y(t-2) = B_1 u(t-1) + B_2 u(t-2) + e(t)$$

Ekvationen $\det(B_1 + B_2 q^{-1}) = 0$ har här lösningar utanför enhetscirkeln (gäller även om $T \ll 0,1s$). Systemet är alltså icke minimum-fas och enligt [4] skall återkoppling med en minimalvariansregulator ge instabilitet. Jag försökte i alla fall med

$$u(t) = B_1^{-1} \{ A_1 y(t) + A_2 y(t-1) - B_2 u(t-1) \}$$

$$u(t) = \begin{pmatrix} 21.21 & -21.16 \\ -21.21 & 11.66 \end{pmatrix} y(t) + \begin{pmatrix} -8.638 & 0 \\ 8.638 & 0 \end{pmatrix} y(t-1) - \begin{pmatrix} 0.9085 & 2.014 \\ -0.9085 & -2.014 \end{pmatrix} u(t-1)$$

dvs. modellerna

$$\begin{cases} y_1(t) + \alpha'_1 y_1(t-1) + \alpha'_2 y_1(t-2) + \delta' y_2(t-1) = u_1(t-1) + \beta' u_1(t-2) + \delta' u_2(t-2) + \mathcal{E}_1(t) \\ y_2(t) + \alpha'' y_2(t-1) + \delta'' y_1(t-1) + \delta'' y_1(t-2) = u_2(t-1) + \beta'' u_2(t-2) + \delta'' u_1(t-2) + \mathcal{E}_2(t) \end{cases}$$

med motsvarande startvärden för parametrarna. Detta försök krön-
tes dock inte med framgång.

Inte heller med en parameter i varje regulator var systemet
stabilt. Som illustration visas i fig. 4.6 exempel på parametrar-
nas trajektorier ($p_0=0.005$). Det kan vara intressant att jäm-
föra med två figurer från [7]. I fig. 4.7 visas stabilitets-
området för k_1, k_2 om systemet 4.4 regleras med P-regulatorer-
na.

$$\begin{cases} u_1(t) = k_1 y_1(t) \\ u_2(t) = k_2 y_2(t) \end{cases}$$

där k_1 och k_2 äre konstanta (sätt $p_0=0$ i STURE1 o. 2).

Detta område är även inritat i fig. 4.6.

Parameterskattningarna divergerar alltså mot eller förbi sta-
bilitetsgränsen - förlusterna blir stora och skattningarna
"kastar" åter in i stabilitetsområdet, osv.....

Fig. 4.8 visar trajektorierna för parametrarna som ovan, men
beräknade med "Ljungs differentialekvation". [8].

PLOT TH21 (TH11)

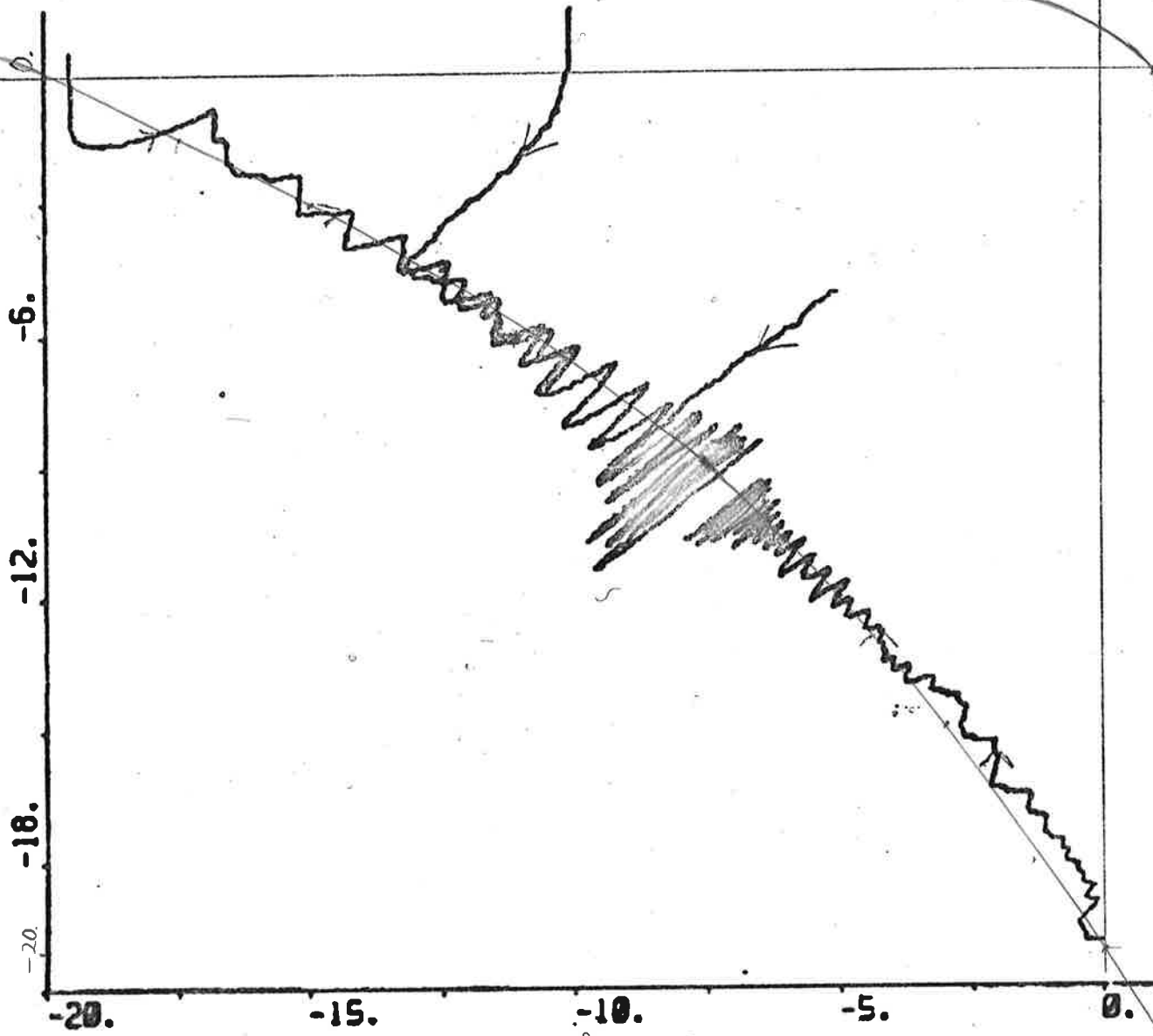


fig. 4.6 Parametertrajektorier

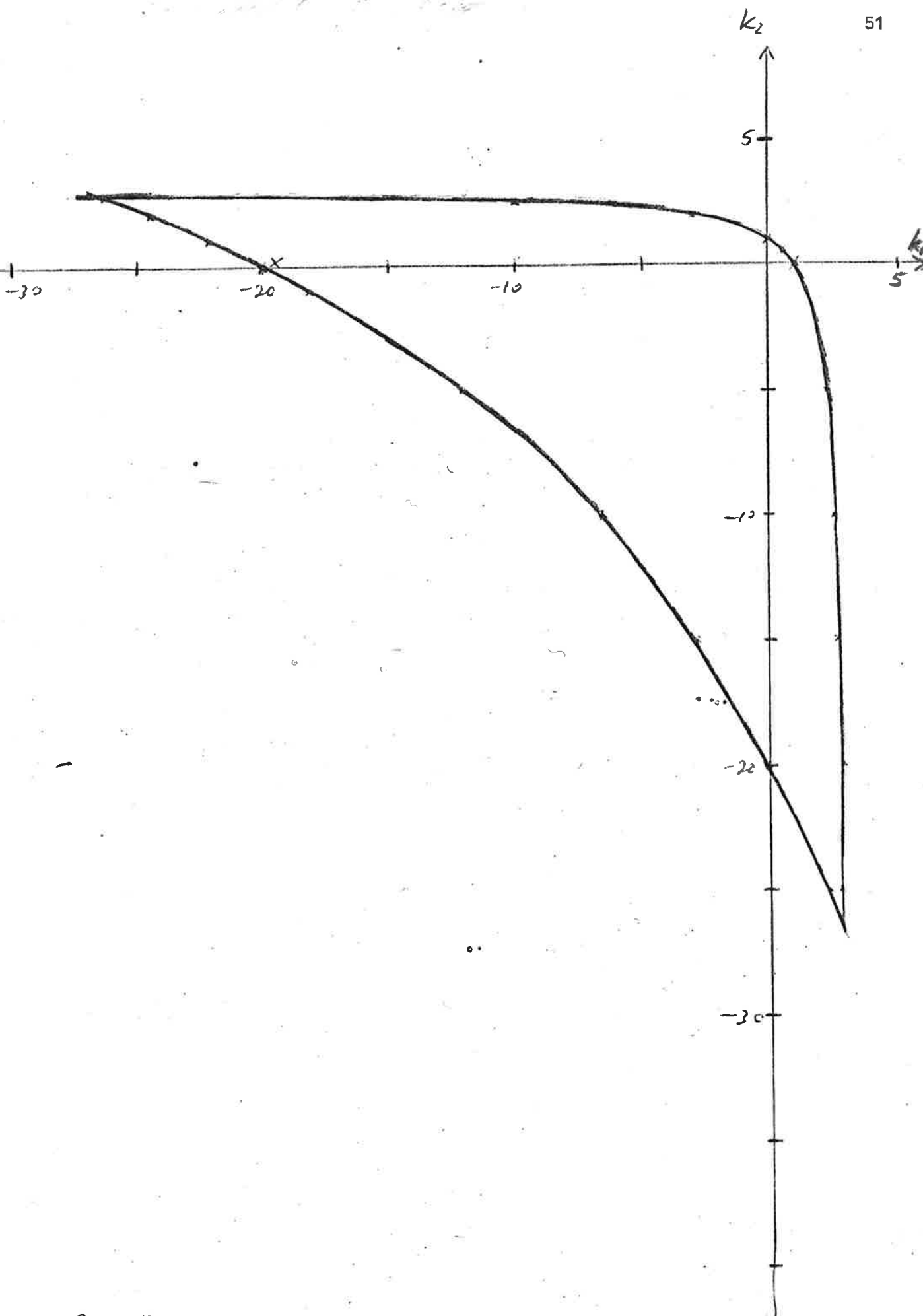
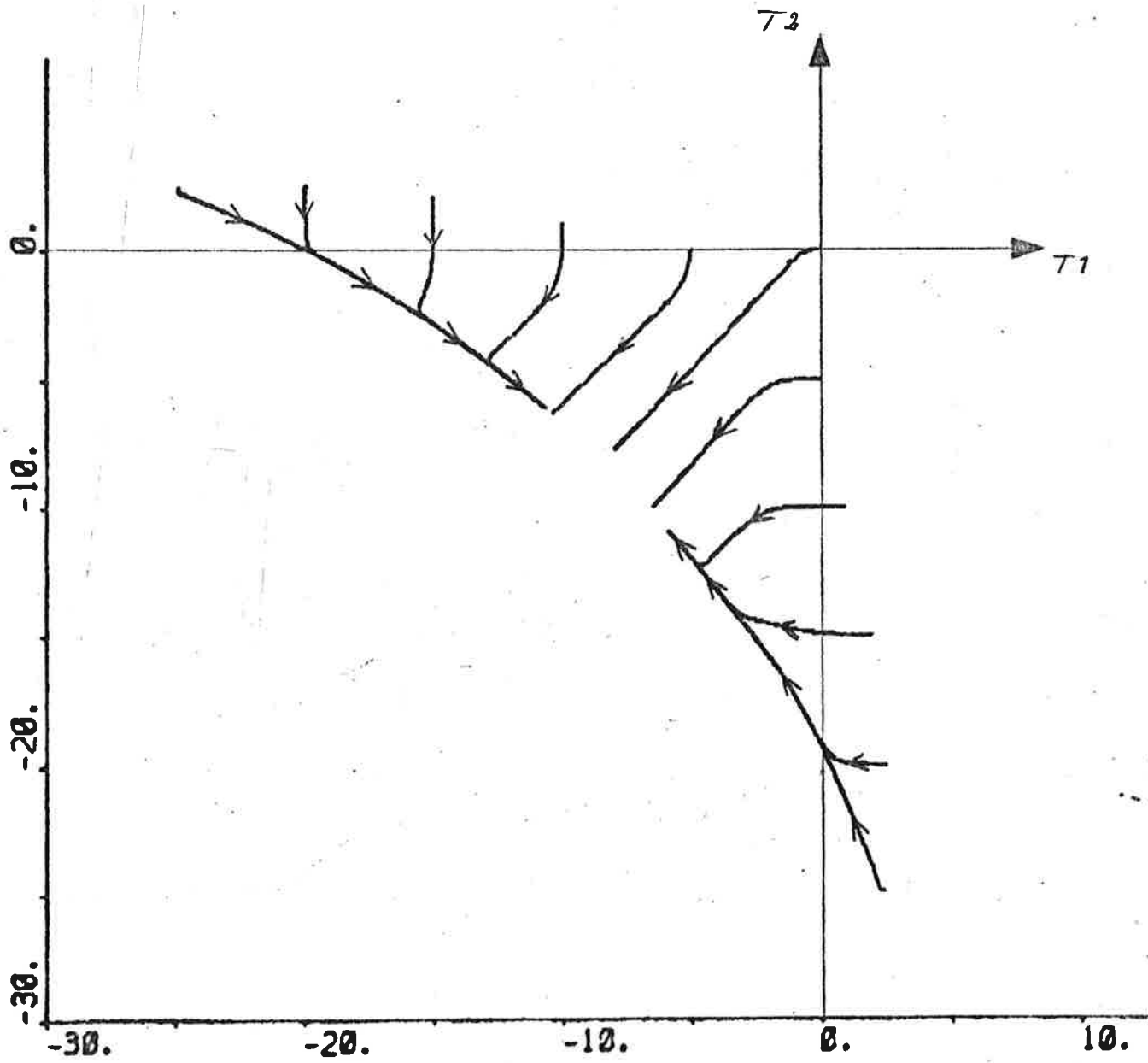


fig. 4.7

Stabilitetsområde för P-regulator

PLOT T2(T1)

fig 4.8

Beräknade parametertrajektorier

SLUTLEDNINGAR

Exemplen i kapitel 4 visar tydligt att decentraliserad reglering bör användas endast om det verkligen finns skäl att inte styra centralt. I allmänhet krävs en central regulator för optimal styrning medan en decentraliserad regulatorstruktur automatiskt innebär större förluster.

De gånger decentraliserad reglering är önskvärd kan de ovan beskrivna självinställande regulatorerna vara användbara. Vi har sett många exempel på att sådana konvergerar mot de regulatorer som skulle använts med ingående kännedom om systemet som regleras. Självinställarnas styrka är ju att sådan kännedom inte är nödvändig. Valet av regulatorstruktur är däremot väsentligt. I några exempel blir visserligen skillnaderna i förluster för olika strukturer relativt små men i andra återger en regulator med för få parametrar upphov till instabilitet. Att använda onödigt många parametrar verkar däremot inte farligt.

Referenser

=====

- [1] Sandell N et al.: A Survey of Decentralized Control Methods for Large Scale Systems
Department of Electrical Engineering
and Computer Sciences, Massachusetts
Institute of Technology Cambridge,
Massachusetts 02139
- [2] Aström KJ- Wittenmark B: On self Tuning Regulators
Automatica, Vol. 9 pp 185-199,1973
- [3] Wittenmark B: A Self-tuning Regulator. Report 7311, LTH 1973
- [4] Aström KJ -Borisson U,-Ljung C,-Wittenmark B:
Theory and Applications of Self-tuning Regulators
Automatica, vol 13, pp 451-476, 1977
- [5] Borisson U: Self- Tuning Regulators - Industrial Applications
and Multivariable Theory.
Report 7513, LTH 1975
- [6] Elmqvist H: SIMNON - An Interactive Simulation Program for
Nonlinear Systems
Report 7502, LTH 1975
- [7] Gustavsson, I: Personlig kommunikation.
- [8] Ljung, L - Wittenmark, B: Asymptotic properties of Self-tuning
Regulators
Report 7404, LTH 1974

APPENDIXProgramlistor

innehåll:

SIMBAT - Länklista för generering av SIMNON.

De element som tillförts SIMBAT är understrukna. De finns även återgivna i detta appendix.

REGLOM, SYSCOM, DISTC, SYSS, COMMONBLOCK

HAMPC - "Dummy"-rutin

SYSTS - Förbinder SIMNON med systemprogrammen

REGS, SYSS, DIST - Systemprogram

MESS, STURE, LS, RTS, SHIF - Subrutiner till systemprogrammen

DUM1 - "Dummy"-rutin

CONN- "Connecting system"


```
ÄJOB
A RK <SIM> -5/RK <NEW> -1/LP -12
CHAIN
SIMNON
SZ
SIMNON,BLDATA,ØDISHDL,ØSDSHDL,ØBINIO,ØBCDIO,ØFILE,SCAPRO,REMOVE,
ØMOD,ØPARTWD,ØRMNMX,ØFETCH,ØIBREAK,ØREGCOM,ØSYSCOM,ØDISTC,ØSYSTSC
LSIM=ØSIMU,ØOUTP
LSIM2=ØPSREAD,ØDERIVØ,ØCALCULØ,ØINIVARØ,ØEXTCALØ
L1=ØESIMN,ØSUBST
LCOMP=ØSIMNSY/.COMP,.EDIT
L1=ØPARINT,ØCODISP,ØCOPLØT,ØCOLIST/ØDEV,ØLOGARG
L2=ØCOSIMU,ØWMESS,ØCOALG/ØLOGARG
L3=ØCOSAVE,ØCOGET/ØLOGARG
L4=ØCOEDIT/.EDIT,ØLOGARG
L5=ØCOSTOR,ØCOAXES,ØCOSYST/ØLOKFOR,ØVARIB,
ØOFNEF,ØPFLOAT,ØLOGARG
L6=ØCOTURN,ØTEST,ØINTERR,ØISIMN,ØEXTSYS/ØLOGARG
L7=ØCOSHØW,ØCOERR/ØLOGARG
L11=ØWRITE,ØLPCOM
L12=ØIFGOLA
L13=ØFORNXT
L14=ØFREE,ØEXEC,ØSWTCH
L15=ØLET
L16=ØMFRE
L11=ØINTR
LDUM=ØDUM
LINT1=HAMPC
LINT2=ØRKADM,ØRKFIX
LUSER=ØSYSTS/ØEDECL,ØEDECLV,ØEDECLM,ØREGS,ØSYSS,ØDIST,ØMESS
LDUM1=ØSTURE,ØLS,ØRTS,ØSHIF,ØDUM1
LSIM:LCOMP:L1,L1
L1:L2:L3:L4:L5:L6:L7:L11:L11:L12:L13:L14:L15:L16:
ØMAC:LDUM,LINT1,LDUM1,LSIM2,LUSER
LINT1:LINT2
```

```
ÄJOB
ABS
SIMNON
ÄEXIT
```

BLOCK DATA

```
COMMON/REGCOM/I,ACT1,I,ACT2,I,SB,U1,U2,Y1,Y2,UR1,UR2,RES1,RES2
  ,RN1(4),RN2(4),RK1(4),RK2(4),RKDEL,B01,B02,RB0
  ,ULIM,WT1,WTM,DELT,REG,V1,V2,V,TS,DT
  END
```

SYSCOM

BLOCK DATA

```
COMMON/SYSCOM/I,ACTV,US1,US2,ES1,ES2,YS1,YS2
  ,RNA,RNB,RNC,RKB,A11(5),A12(5),A21(5),A22(5)
  ,B11(5),B12(5),B21(5),B22(5),C11(5),C12(5)
  ,C21(5),C22(5),TS,DT
END
```

DISTC

```
BLOCK DATA  
COMMON/DISTC/ED1,ED2,R011,R012,R022,RNOD1,RNOD2,TS,DT  
END
```

SYSTSC

BLOCK DATA

COMMON/SYSTSC/TH1(5),TH2(5),R1(5),R2(5),P1(5,5),P2(5,5)

Ä ,S1(4,10),S2(4,10),S0(4,10),W1(5),W2(5),W3(5),NW(4)

Ä ,P01(5),P02(5),TH01(5),TH02(5)

END

```
SUBROUTINE HAMPC  
RETURN  
END
```

```
      SUBROUTINE SYSTS
C
      COMMON/SYSTSC/ TH1(5),TH2(5),R1(5),R2(5),P1(5,5),P2(5,5)
      A      ,S1(4,10),S2(4,10),S0(4,10),W1(5),W2(5),W3(5),NW(4)
      A      ,P01(5),P02(5),TH01(5),TH02(5)
      COMMON /DESTIN/ ISYST, IDUM
      COMMON /NSYSTS/ NSYST
      COMMON /NALLOC/ NS
C
      NSYST=3
      NS=1
C
      IS=4
      IP=5
C
      GO TO(1,2,3), ISYST
C
      1  CALL SYSS
         RETURN
      2  CALL DIST
         RETURN
      3  CALL REGS(TH1,TH2,R1,R2,P1,P2,IP,S1,S2,S0,IS,
      A      W1,W2,W3,NW,P01,P02,TH01,TH02)
         RETURN
      END
```



```

IF(IND1.EQ.0.AND.ISB.GE.2.AND.ISB.LE.10)GOTO 220
CALL BADVAL(4HISB ,4H )
GOTO 900

```

C
C

```

220 CALL INPUT(U1,4HU1 )
CALL INPUT(U2,4HU2 )
CALL INPUT(Y1,4HY1 )
CALL INPUT(Y2,4HY2 )

```

C

```

CALL OUTPUT(UR1,4HUR1 )
CALL OUTPUT(UR2,4HUR2 )
CALL OUTPUV(TH1,IACT1,4HTH1 )
CALL OUTPUV(TH2,IACT2,4HTH2 )
CALL OUTPUT(RES1,4HRES1)
CALL OUTPUT(RES2,4HRES2)

```

C

```

CALL PARV(RN1,4,4HN1 )
CALL PARV(RN2,4,4HN2 )
CALL PARV(RK1,4,4HK1 )
CALL PARV(RK2,4,4HK2 )

```

C

```

CALL PAR(RKDEL,4HKDEL)

```

C

```

CALL PAR(B01,4HB01 )
CALL PAR(B02,4HB02 )
CALL PAR(RB0,4HIB0 )

```

C

```

CALL PARV(TH01,IACT1,4HTH01)
CALL PARV(TH02,IACT2,4HTH02)
CALL PARV(P01,IACT1,4HP01 )
CALL PARV(P02,IACT2,4HP02 )

```

C

```

CALL PARM(S0,4,ISB,IS,4HS0 )

```

C

```

CALL PARV(R1,IACT1,4HR1 )
CALL PARV(R2,IACT2,4HR2 )

```

C

```

CALL PAR(ULIM,4HULIM)

```

C

```

CALL PAR(WT1,4HWT1 )
CALL PAR(WTM,4HWTM )

```

C

```

CALL PAR(DELT,4HDELT)
CALL PAR(REG,4HREG )

```

C

```

CALL VAR(V1,4HV1 )
CALL VAR(V2,4HV2 )
CALL VAR(V,4HV )

```

C

```

CALL VARM(P1,IACT1,IACT1,IP,4HP1 )
CALL VARM(P2,IACT2,IACT2,IP,4HP2 )
CALL VARM(S1,4,ISB,IS,4HS1 )
CALL VARM(S2,4,ISB,IS,4HS2 )

```

C

C

```

CALL PAR(DT,4HDT )

```

C

```

CALL TSAMP(TS,4HTS )

```

C

```

RETURN

```

C

C

```

CONSTANT ASSIGNMENTS

```

C

```

3      WTI=1.
      WTM=1.
C
      DT=1.
      REG=1.
      RBO=0.
      B01=1.
      B02=1.
C
      ULIM=-1.
      EPS=0.1
C
      DO 300 I=1, IACT1
300    P01(I)=100.
      DO 310 I=1, IACT2
310    P02(I)=100.
C
      DO 320 I=1, 4
      RN1(I)=0.
      RN2(I)=0.
      RK1(I)=0.
320    RK2(I)=0.
C
      RKDEL=0.
C
      ACTY(2)=0.
      ACTY(4)=0.
C
      RETURN
C
      INITIAL
C
4      TS=T+DT
C
C
C      CONVERSION TO INTEGERS
C
      DO 400 I=1, 4
      N1(I)=RN1(I)+EPS
      N2(I)=RN2(I)+EPS
      K1(I)=RK1(I)+EPS
400    K2(I)=RK2(I)+EPS
C
      KDEL=RKDEL+EPS
C
      MSTOP=.FALSE.
C
      IB0=RBO+EPS
C
      COUNT THE NUMBER OF PARAMETERS IN THE REGULATORS
      NPAR1=0
      NPAR2=0
      DO 410 I=1, 4
      NPAR1=NPAR1+N1(I)
410    NPAR2=NPAR2+N2(I)
      IF(NPAR1+NPAR2.GT.0.AND.NPAR1.LE.IACT1.AND.NPAR2.LE.IACT2)GOTO 42
      MSTOP=.TRUE.
      LSTOP=.TRUE.
      KMESS=4
      RETURN
C
      IS THE MODEL REALISTIC?
C
420    IF(N1(4).GT.0.AND,K1(4)+KDEL.LE,K1(2))GOTO 421

```

```

IF(N2(4).GT.0.AND.K2(4)+KDEL.LE.K2(2))GOTO 421
GOTO 425
421  MSTOP=.TRUE.
      LSTOP=.TRUE.
      KMESS=6
      RETURN
C
C 425  CALL RMOVE(TH01(1),1,TH1(1),1,NPAR1)
      CALL RMOVE(TH02(1),1,TH2(1),1,NPAR2)
C
      X=0.
      DO 430 I=1,NPAR1
      CALL RMOVE(X,0,P1(I,1),IP,NPAR1)
430  P1(I,1)=P01(I)
C
      DO 440 I=1,NPAR2
      CALL RMOVE(X,0,P2(I,1),IP,NPAR2)
440  P2(I,1)=P02(I)
C
      V1=0.
      V2=0.
      WT=WT1
C
C  GIVE THE INITIAL VALUES IN S0 TO S1 AND S2
      DO 450 I=1,4
      K=I+2-I/3*4
      DO 450 J=1,ISB
      X=S0(I,J)
      S1(I,J)=X
450  S2(K,J)=X
C
      B1=1.
      B2=1.
      IF(IB0.EQ.0.AND.REG.GT.0.5)B1=1./B01
      IF(IB0.EQ.0.AND.REG.GT.0.5)B2=1./B02
C
      RETURN
C
C  C
C  C
C  C
C  C
C  C
      PREPARATIONS FOR LS-ESTIMATION
      5  ACTY1=Y1
        ACTY2=Y2
C
        IF(REG.GT.0.5)GOTO 510
C
        DO 520 I=1,4
        KACT1(I)=K1(I)
520  KACT2(I)=K2(I)
C
        GOTO 530
C
510  IF(IB0.NE.0)GOTO 540
      KB=K1(2)
      ACTY1=Y1/B01-S1(2,KB+1)
      KB=K2(2)
      ACTY2=Y2/B02-S2(2,KB+1)
C
540  KACT1(1)=K1(1)+KDEL
      KACT2(1)=K2(1)+KDEL
      KACT1(2)=K1(2)+1
      KACT2(2)=K2(2)+1

```

```

C
      IF (IB0.NE.0) KACT1(2)=K1(2)
      IF (IB0.NE.0) KACT2(2)=K2(2)
C
      KACT1(3)=K1(3)+KDEL
      KACT2(3)=K2(3)+KDEL
      KACT1(4)=K1(4)+KDEL
      KACT2(4)=K2(4)+KDEL
C
C
530  UPDATE THE WEIGHT-FACTOR (WT<1 MEANS EXPONENTIAL FORGETTING)
      WT=WTM*WT+(1.-WTM)
C
C
      LEAST SQUARES ESTIMATION
C
      CALL LS(WT,R1,DELT,S1,IS,N1,KACT1,ACTY1,TH1,P1,W1,RES1,IP,W2,
      X          W3,NPAR1,4)
C
      CALL LS(WT,R2,DELT,S2,IS,N2,KACT2,ACTY2,TH2,P2,W1,RES2,IP,W2,
      X          W3,NPAR2,4)
C
      IF (REG.LT.0.5) RETURN
C
C
      COMPUTE THE CONTROL SIGNALS
C
      PREPARATIONS
      DO 550 I=1,4
      KACT1(I)=K1(I)
550  KACT2(I)=K2(I)
C
      ACTY(1)=-Y1*B1
      ACTY(3)=-Y2*B1
C
C
      COMPUTE
C
      CALL STURE(S1,IS,N1,KACT1,KDEL,4,TH1,IB0,ACTY,UR1,NW)
C
      ACTY(1)=-Y2*B2
      ACTY(3)=-Y1*B2
C
      CALL STURE(S2,IS,N2,KACT2,KDEL,4,TH2,IB0,ACTY,UR2,NW)
C
C
      COMPUTE THE LOSS
C
      V1=V1+Y1*Y1
      V2=V2+Y2*Y2
      V=V1+V2
C
C
      LIMITATION OF CONTROL SIGNALS (IF ULIM>0)
C
      IF (ULIM.LE.0.) RETURN
C
      UR1=SIGN(AMIN1(ABS(UR1),ULIM),UR1)
      UR2=SIGN(AMIN1(ABS(UR2),ULIM),UR2)
C
      RETURN
C
      DYNAMICS
C
      UPDATE THE "INFORMATION MATRICES"
C
6    CALL SHIF(S1,IS,4,ISB)
      CALL SHIF(S2,IS,4,ISB)

```

```
C      S1(1,1)=-Y1*B1
      S1(2,1)=U1
      S1(3,1)=-Y2*B1
      S1(4,1)=U2*B1
C
      S2(1,1)=-Y2*B2
      S2(2,1)=U2
      S2(3,1)=-Y1*B2
      S2(4,1)=U1*B2
C
C
      TS=T+DT
C
      RETURN
C
      7  RETURN
C
C
C      WRITE ERROR MESSAGE (IF ANY)
C
      8  IF(MSTOP)CALL MESS(KMESS)
      RETURN
C
      900 LSTOP=.TRUE.
      RETURN
C
      END
```

SUBROUTINE SYSS

COMPUTES THE OUTPUT FROM THE SYSTEM

$$I*Y(T)+A(1)*Y(T-1)+\dots+A(NA)*Y(T-NA)=$$

$$=B(1)*U(T-KB-1)+\dots+B(NB)*U(T-KB-NB)+$$

$$+I*E(T)+C(1)*E(T-1)+\dots+C(NC)*E(T-NC)$$

WHERE THE MATRICES A(K),B(K),C(K)

$$A(K)=\begin{pmatrix} A11(K) & A12(K) \\ A21(K) & A22(K) \end{pmatrix} \quad \text{ETC.}$$

AND THE VECTORS Y(T-K),U(T-K),E(T-K)

$$Y(T-K)=\begin{pmatrix} Y1(K) \\ Y2(K) \end{pmatrix} (T) \quad \text{ETC.}$$

ARE REPRESENTED BY VECTORS A11,A12,...B11,...C22,Y1,Y2,...E2

INPUTS U:(US1,US2)
 E:(ES1,ES2) (NOISE)
 OUTPUT Y:(YS1,YS2)

SUBROUTINES REQUIRED
 RMOVE,SCAPRO,MESS

LOGICAL LSTOP,LDARK,MSTOP
 DIMENSION Y1(5),Y2(5),E1(5),E2(5),U1(10),U2(10)
 DIMENSION A11(5),A12(5),A21(5),A22(5),B11(5),B12(5),B21(5),B22(5),
 C11(5),C12(5),C21(5),C22(5)

COMMON/DESTIN/IDUM,IPART
 COMMON/TIME/T
 COMMON/USER/LSTOP,LDARK

COMMON/SYSCOM/IACTV,US1,US2,ES1,ES2,YS1,YS2
 ,RNA,RNB,RNC,RKB,A11,A12,A21,A22
 ,B11,B12,B21,B22,C11,C12,C21,C22,TS,DT

GOTO(1,2,3,4,5,6,7,8),IPART

IDENTIFICATION

1 CALL IDENT(5HDISCR,4HSYSS)
 RETURN

DECLARATIONS

2 CALL INPUT(US1,4HUS1)
 CALL INPUT(US2,4HUS2)
 CALL INPUT(ES1,4HES1)
 CALL INPUT(ES2,4HES2)
 CALL OUTPUT(YS1,4HYS1)
 CALL OUTPUT(YS2,4HYS2)

CALL PAR(RNA,4HNA)
 CALL PAR(RNB,4HNB)
 CALL PAR(RNC,4HNC)
 CALL PAR(RKB,4HKB)

```

MSTOP=.FALSE.
C
C
C CHECK OUTER MATRIX DIMENSION PARAMETER
CALL FINT(5HIACTV,4H      ,IACTV,IND1)
IF(IND1.EQ.0.AND.IACTV.GE.1.AND.IACTV.LE.5)GOTO 200
CALL BADVAL(5HIACTV,4H      )
LSTOP=.TRUE.
MSTOP=.TRUE.
KMESS=1
RETURN
C
200 CALL PARV(A11,IACTV,4HA11 )
CALL PARV(A12,IACTV,4HA12 )
CALL PARV(A21,IACTV,4HA21 )
CALL PARV(A22,IACTV,4HA22 )
CALL PARV(B11,IACTV,4HB11 )
CALL PARV(B12,IACTV,4HB12 )
CALL PARV(B21,IACTV,4HB21 )
CALL PARV(B22,IACTV,4HB22 )
CALL PARV(C11,IACTV,4HC11 )
CALL PARV(C12,IACTV,4HC12 )
CALL PARV(C21,IACTV,4HC21 )
CALL PARV(C22,IACTV,4HC22 )
C
CALL PAR(DT,4HDT )
C
CALL TSAMP(TS,4HTS )
C
RETURN
C
C
C CONSTANT ASSIGNMENTS
3 DT=1.
EPS=0.1
C
RETURN
C
C
C INITIAL
C
4 TS=T+DT
C
C
C CONVERSION TO INTEGERS
NA=RNA+EPS
NB=RNB+EPS
NC=RNC+EPS
KB=RKB+EPS
C
MSTOP=.FALSE.
C
C
C IS THE SYSTEM TOO LARGE?
IF(NA.GT.5.OR,NB.GT.5)GOTO 400
IF(NC.LE.5,AND.(NB+KB).LE.10)GOTO 410
400 LSTOP=.TRUE.
MSTOP=.TRUE.
KMESS=2
RETURN
C
410 IF(NA+NB+NC.GT.0)GOTO 415
MSTOP=.TRUE.
KMESS=5
C

```

```

415 DO 420 I=1,5
      Y1(I)=0.
      Y2(I)=0.
      E1(I)=0.
420 E2(I)=0.
      DO 430 I=1,10
430 U1(I)=0.
      U2(I)=0.
C
      RETURN
C
C
C
C
C
      COMPUTE THE OUTPUTS
C
5     YS1=ES1
      YS2=ES2
      IF(NA.GT.0)YS1=YS1-SCAPRO(A11(1),1,Y1(1),1,NA)
      X      -SCAPRO(A12(1),1,Y2(1),1,NA)
      IF(NA.GT.0)YS2=YS2-SCAPRO(A21(1),1,Y1(1),1,NA)
      X      -SCAPRO(A22(1),1,Y2(1),1,NA)
C
      IF(NB.GT.0)YS1=YS1+SCAPRO(B11(1),1,U1(KB+1),1,NB)
      X      +SCAPRO(B12(1),1,U2(KB+1),1,NB)
      IF(NB.GT.0)YS2=YS2+SCAPRO(B21(1),1,U1(KB+1),1,NB)
      X      +SCAPRO(B22(1),1,U2(KB+1),1,NB)
      IF(NC.GT.0)YS1=YS1+SCAPRO(C11(1),1,E1(1),1,NC)
      X      +SCAPRO(C12(1),1,E2(1),1,NC)
      IF(NC.GT.0)YS2=YS2+SCAPRO(C21(1),1,E1(1),1,NC)
      X      +SCAPRO(C22(1),1,E2(1),1,NC)
C
      RETURN
C
C
C
C
C
      DYNAMICS
C
C
C
C
      UPDATE THE "INFORMATION VECTORS"
C
6     CALL RMOVE(Y1(4),-1,Y1(5),-1,4)
      CALL RMOVE(Y2(4),-1,Y2(5),-1,4)
      Y1(1)=YS1
      Y2(1)=YS2
      CALL RMOVE(U1(9),-1,U1(10),-1,9)
      CALL RMOVE(U2(9),-1,U2(10),-1,9)
      U1(1)=US1
      U2(1)=US2
      CALL RMOVE(E1(4),-1,E1(5),-1,4)
      CALL RMOVE(E2(4),-1,E2(5),-1,4)
      E1(1)=ES1
      E2(1)=ES2
C
      TS=T+DT
C
      RETURN
C
7     RETURN
C
8     IF(MSTOP)CALL MESS(KMESS)
      RETURN
C
      END

```



```
      SUBROUTINE DIST
C
C      GENERATES OUTPUTS ED1,ED2,
C      WHICH ARE BOTH WHITE NOISE, WITH
C      VAR(ED1)=R011
C      VAR(ED2)=R022
C      COV(ED1,ED2)=R012
C
C      SUBROUTINES REQUIRED:MCNOD1,MESS
C
C      LOGICAL LSTOP,LDARK,MSTOP
C
C      COMMON/DESTIN/IDUM,IPART
C      COMMON/TIME/T
C      COMMON/USER/LSTOP,LDARK
C
C      COMMON/DISTC/ED1,ED2,R011,R012,R022,RNOD1,RNOD2,TS,DT
C
C      GOTO(1,2,3,4,5,6,7,8),IPART
C
C      IDENTIFICATION
C
C      1  CALL IDENT(5HDISCR,4HDIST)
C         RETURN
C
C      DECLARATIONS
C
C      2  CALL OUTPUT(ED1,4HED1 )
C         CALL OUTPUT(ED2,4HED2 )
C
C         CALL PAR(R011,4HR011)
C         CALL PAR(R012,4HR012)
C         CALL PAR(R022,4HR022)
C
C         CALL PAR(RNOD1,4HNOD1)
C         CALL PAR(RNOD2,4HNOD2)
C
C         CALL PAR(DT,4HDT  )
C
C         CALL TSAMP(TS,4HTS  )
C
C         RETURN
C
C      CONSTANT ASSIGNMENTS
C
C      3  DT=1.
C         RNOD1=19.
C         RNOD2=27.
C
C         R011=1.
C         R022=1.
C
C         EPS=0.1
C
C         RETURN
C
C      INITIAL
C
C      4  TS=T+DT
C
C         MSTOP=.FALSE.
C
C         IF(R011*R022.GE.R012*R012)GOTO 400
```

```
LSTOP=.TRUE.
MSTOP=.TRUE.
KMESS=3
RETURN
C
C 400 NOD1=RNOD1+EPS
      NOD2=RNOD2+EPS
C
C AVOID DIVIDING WITH 0
      IF(R011.LT.1E-30)GOTO 410
C
      A=SQRT(R011)
      C=R012/R011
      D=SQRT(R022-R012*R012/R011)
C
      RETURN
C
C 410 A=0
      C=0
      D=SQRT(R022)
      RETURN
C
C OUTPUT
C
C 5 CALL MCNOD1(NOD1,EH)
      ED1=A*EH
      CALL MCNOD1(NOD2,EH)
      ED2=C*ED1+D*EH
C
      RETURN
C
C DYNAMICS
C
C 6 TS=T+DT
      RETURN
C
C 7 RETURN
C
C 8 IF(MSTOP)CALL MESS(KMESS)
      RETURN
C
      END
```

```
      SUBROUTINE MESS(KMESS)
C
      NU=10
C
      GOTO(1,2,3,4,5,6),KMESS
C
      1  WRITE(NU,11)
11     FORMAT(1X,9HBAD IACTV)
      RETURN
      2  WRITE(NU,22)
22     FORMAT(1X,18HBAD NA,NB,NC OR KB)
      RETURN
      3  WRITE(NU,33)
33     FORMAT(1X,24HSORRY R11*R22.LT.R12*R12)
      RETURN
      4  WRITE(NU,44)
44     FORMAT(1X,34HNPARI,NPAR2,IACT1 OR IACT2 NO GOOD)
      RETURN
      5  WRITE(NU,55)
55     FORMAT(1X,21HWARNING:NA+NB+NC.LE.0)
      RETURN
      6  WRITE(NU,66)
66     FORMAT(1X,35HK14+KDEL.LE.K12.OR.K24+KDEL.LE.K22.)
      RETURN
C
      END
```

```
      SUBROUTINE STURE(S,IS,N,K,KDEL,ISA,TH,IBZ,ACTS,UR,NZ)
      C
      C      TEXT
      C
      DIMENSION S(IS,1),N(1),K(1),TH(1),ACTS(1),NZ(1)
      C
      NZ(1)=0
      DO 10 I=2,ISA
      10  NZ(I)=NZ(I-1)+N(I-1)
      C
      UR=0.
      C
      DO 20 I=1,ISA
      IF(I.EQ.2.OR.N(I).EQ.0) GO TO 20
      NB=NZ(I)+1
      IR=K(I)-K(2)+KDEL
      IF(IR.EQ.0) UR=UR-TH(NB)*ACTS(I)
      IF(IR.NE.0) UR=UR-TH(NB)*S(I,IR)
      IF(N(I).NE.1) UR=UR-SCAPRO(TH(NB+1),1,S(I,IR+1),IS,N(I)-1)
      20  CONTINUE
      C
      C
      IF(N(2).EQ.0) GO TO 40
      J=1
      NB=N(2)
      IF(IBZ.EQ.0) GO TO 30
      IF(N(2).EQ.1) GO TO 40
      NB=N(2)-1
      J=2
      30  UR=UR-SCAPRO(TH(N(1)+J),1,S(2,1),IS,NB)
      C
      40  IF(IBZ.NE.0) UR=UR/TH(N(1)+1)
      C
      RETURN
      END
```

```
      SUBROUTINE LS(WT,R1,DELTA,S,IS,N,KACT,ACT,T,P,FI,RES,  
* IP,W1,W2,NPAR,ISA)
```

```
C  
C  
C
```

```
      TEXT
```

```
      DIMENSION T(1),FI(1),R1(1),P(IP,1),S(IS,1)  
      DIMENSION W1(1),W2(1),N(1),KACT(1)
```

```
C  
C  
C
```

```
      UPDATING OF FI-VECTOR
```

```
      J1=0  
      DO 20 I=1,ISA  
      N1=N(I)  
      K1=KACT(I)  
      IF(N1.LE.0) GO TO 20  
      DO 10 J=1,N1  
      J1=J1+1  
10  FI(J1)=S(I,K1+J)  
20  CONTINUE
```

```
C  
C  
C
```

```
      COMPUTATION OF THE RESIDUAL
```

```
      RES=ACT-SCAPRO(FI(1),1,T(1),1,NPAR)
```

```
C  
C  
C
```

```
      LS-ESTIMATION
```

```
      CALL RTS(FI,RES,WT,R1,DELTA,T,P,NPAR,IP,W1,W2)
```

```
C  
C
```

```
      RETURN  
      END
```

```
      SUBROUTINE RTS(FI,RES,WT,R1,DELTA,T,P,NPAR,IP,W1,W2)
C
C
C      TEXT
C
C      DIMENSION T(1),FI(1),R1(1),P(IP,1)
C      DIMENSION W1(1),W2(1)
C
C      UPDATING OF THE P-MATRIX
C
C      DO 10 I=1,NPAR
C      SL=SCAPRO(P(I,1),IP,FI(1),1,NPAR)
C      W1(I)=SL
10     W2(I)=SL
C
C      SL=WT+SCAPRO(FI(1),1,W1(1),1,NPAR)
C
C      DO 30 I=1,NPAR
C      W1(I)=W1(I)/SL
C      DO 20 J=1,I
C      P(I,J)=(P(I,J)-W1(I)*W2(J))/WT
20     P(J,I)=P(I,J)
C      SK=P(I,I)
30     P(I,I)=SK+(R1(I)-DELTA*SK*SK)/WT
C
C      UPDATING OF PARAMETER VECTOR
C
C      DO 40 I=1,NPAR
C      T(I)=T(I)+RES*W1(I)
40
C
C      RETURN
C      END
```

```
      SUBROUTINE SHIF(S,IS,ISA,ISB)
C
C      DIMENSION S(IS,1)
C
C      ISB1=ISB-1
C
C      DO 10 I=1,ISA
10     CALL RMOVE(S(I,ISB1),-IS,S(I,ISB),-IS,ISB1)
C
C      RETURN
C      END
```

```
SUBROUTINE DUM1  
DIMENSION XX(400)  
END
```


CONNECTING SYSTEM CONN

"

TIME T

"

ES1[SYSS]=ED1[DIST]

ES2[SYSS]=ED2[DIST]

Y1[REGS]=YS1[SYSS]

Y2[REGS]=YS2[SYSS]

U1[REGS]=UR1[REGS]

U2[REGS]=UR2[REGS]

US1[SYSS]=UR1[REGS]

US2[SYSS]=UR2[REGS]

"

END